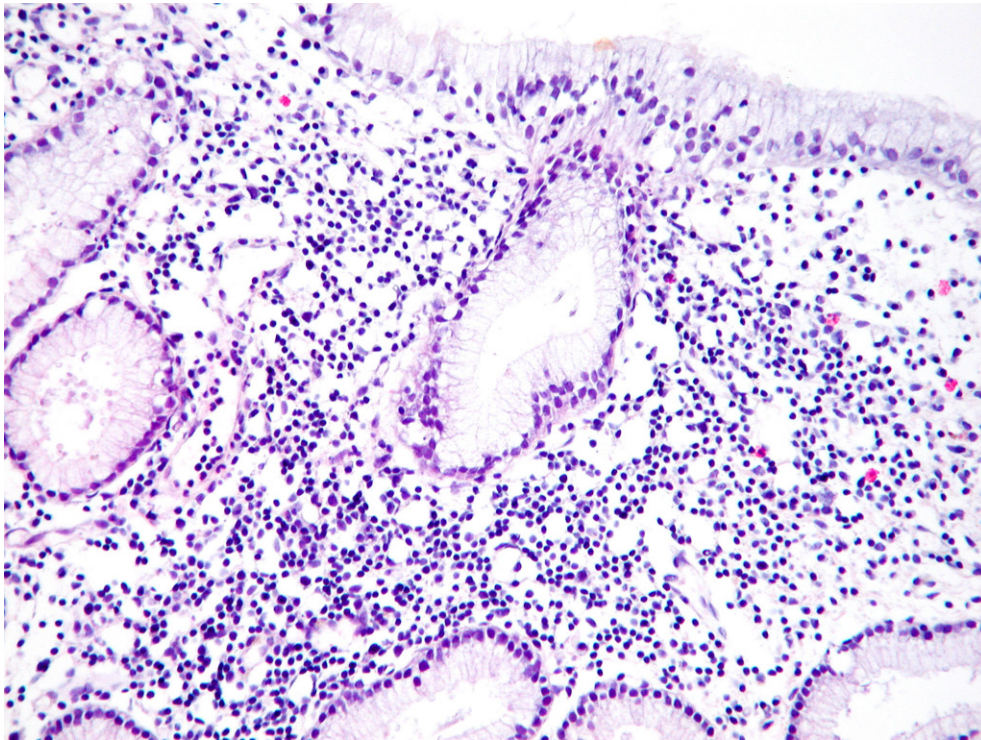
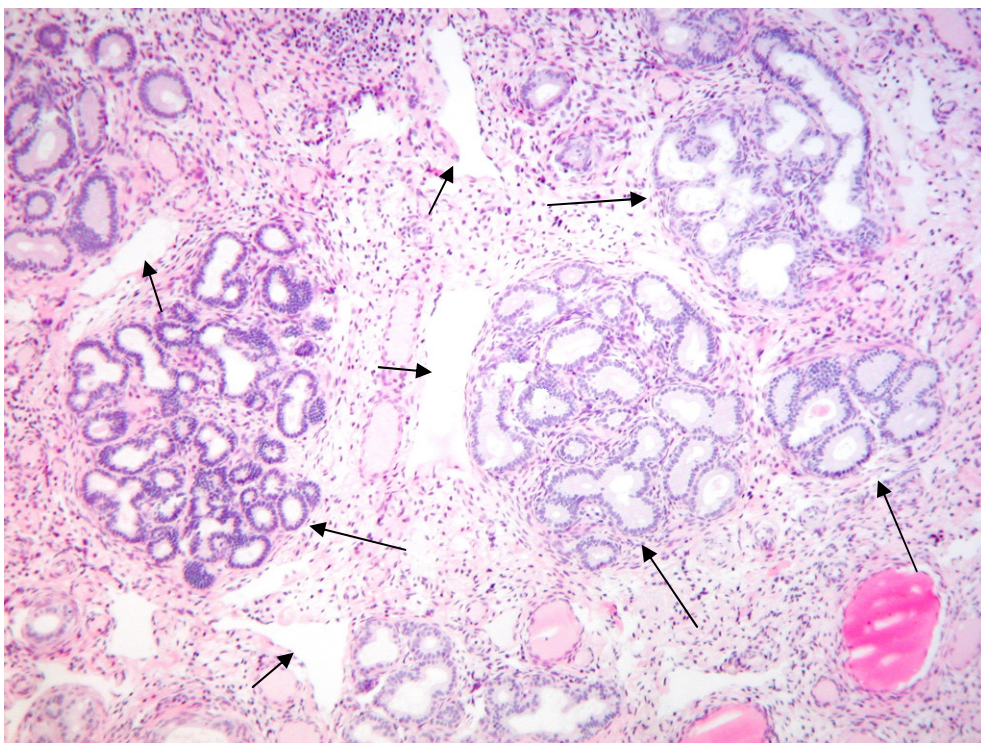


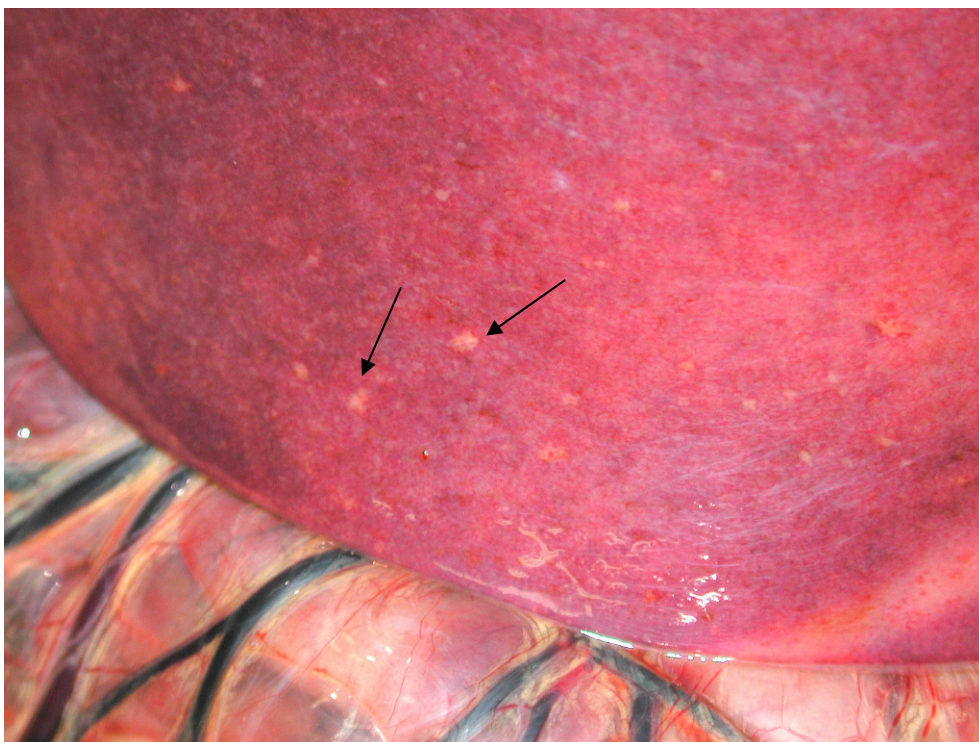
VII. MELLÉKLETEK



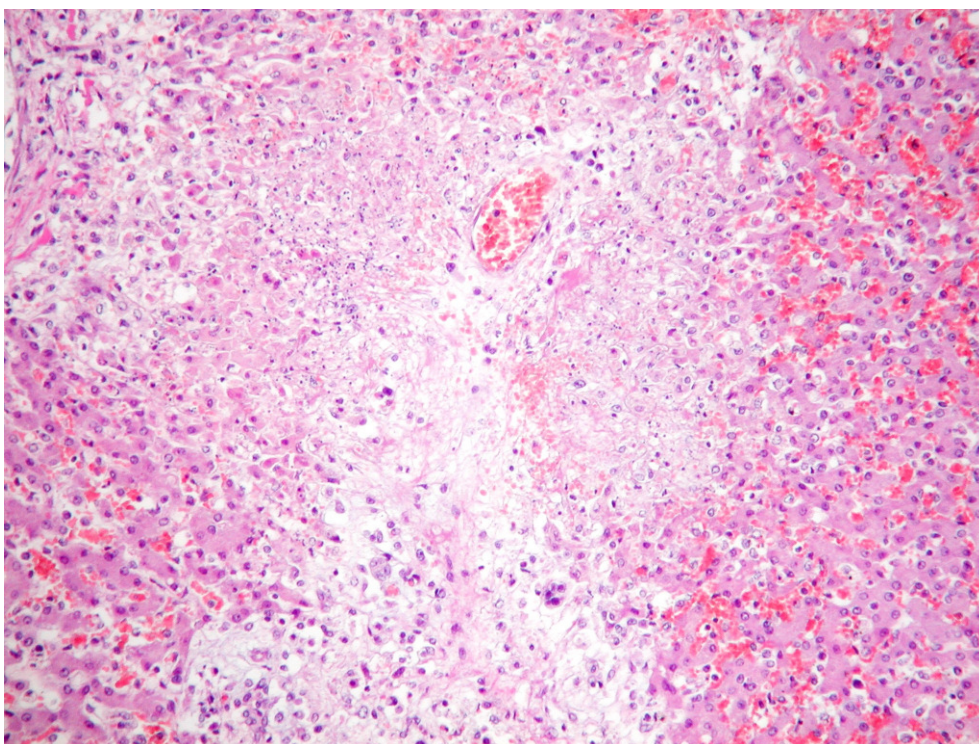
1.1. ábra: Súlyos fokú endometritis. (HE, 200×)



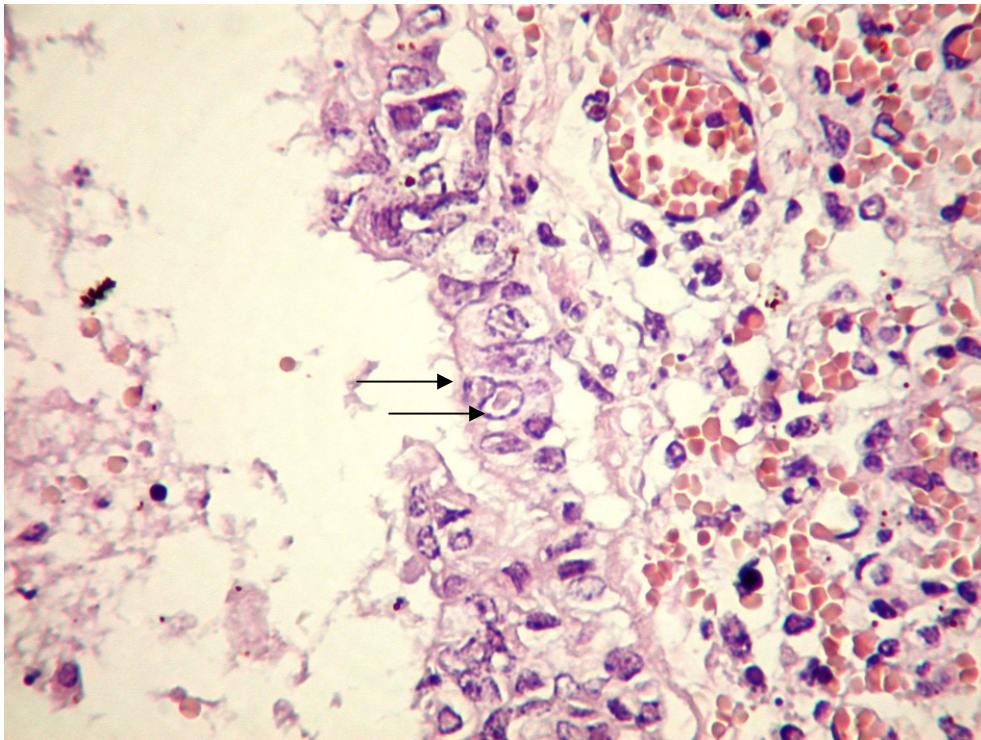
1.2. ábra: „Fészek” képződésével járó (nyilak) súlyos fokú fibrosis az endometrium str. spongiosum rétegében. Számos lymphoid lacuna ugyan itt (rövid nyilak). (HE, 100×)



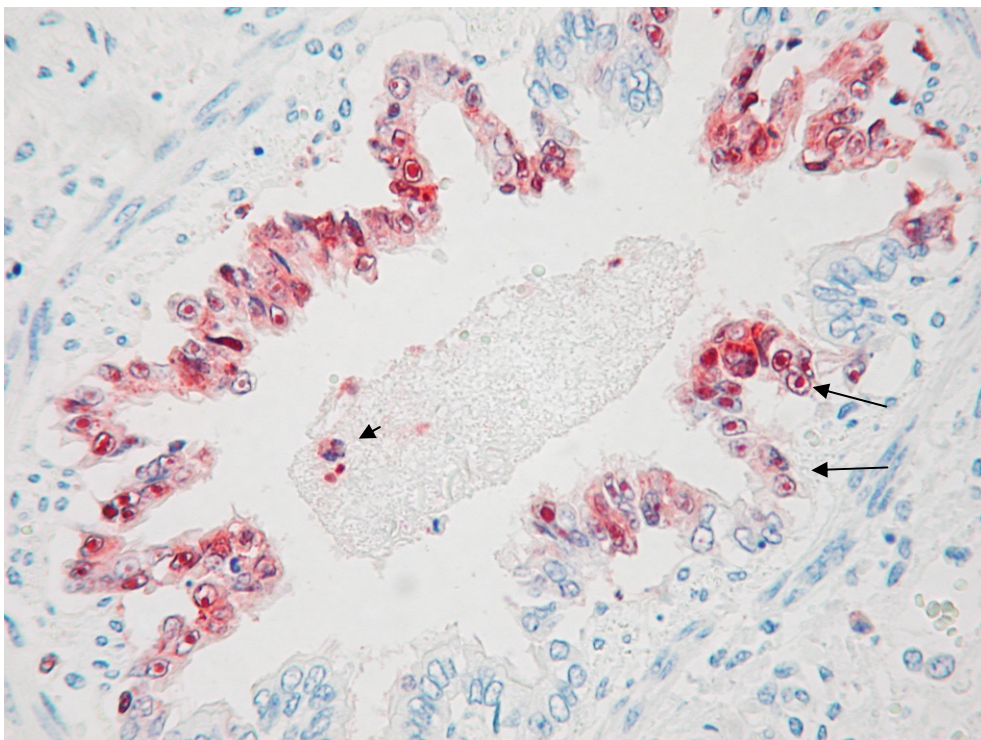
2.1. kép: Tűszúrásnyi-kölesnyi szürkésfehér góccok (nyilak) egy EHV-1-fertőzés következtében vetélt lómagzat májában.



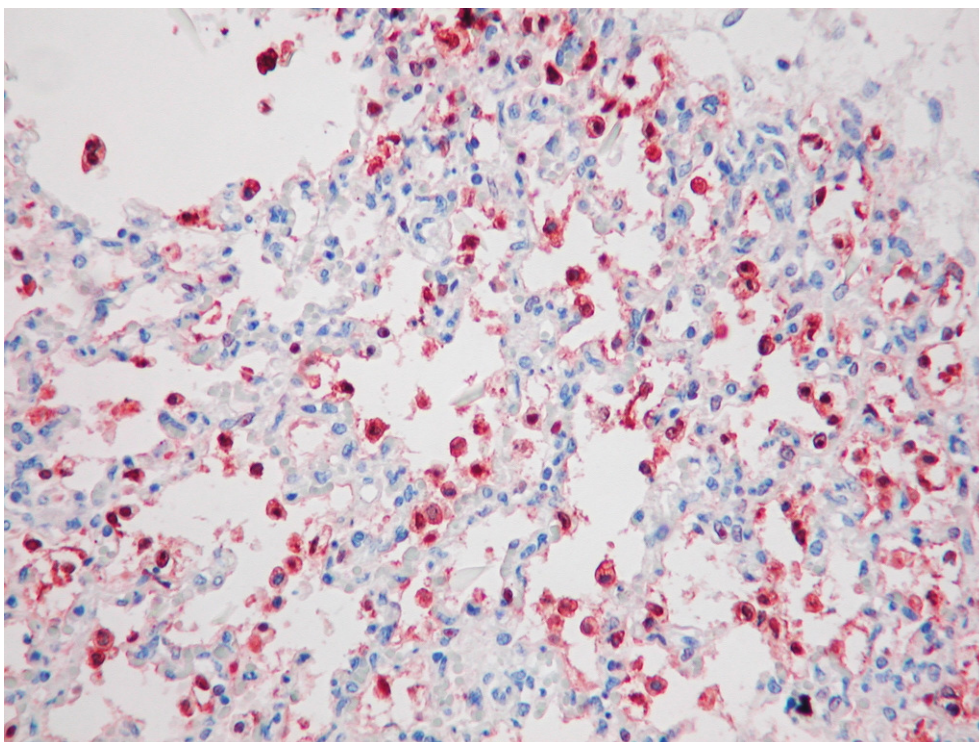
2.2. kép: Enyhe gyulladással kísért friss elhalás a máj portális területén egy EHV-1-fertőzés következtében vetélt lómagzatban. (HE, 100×)



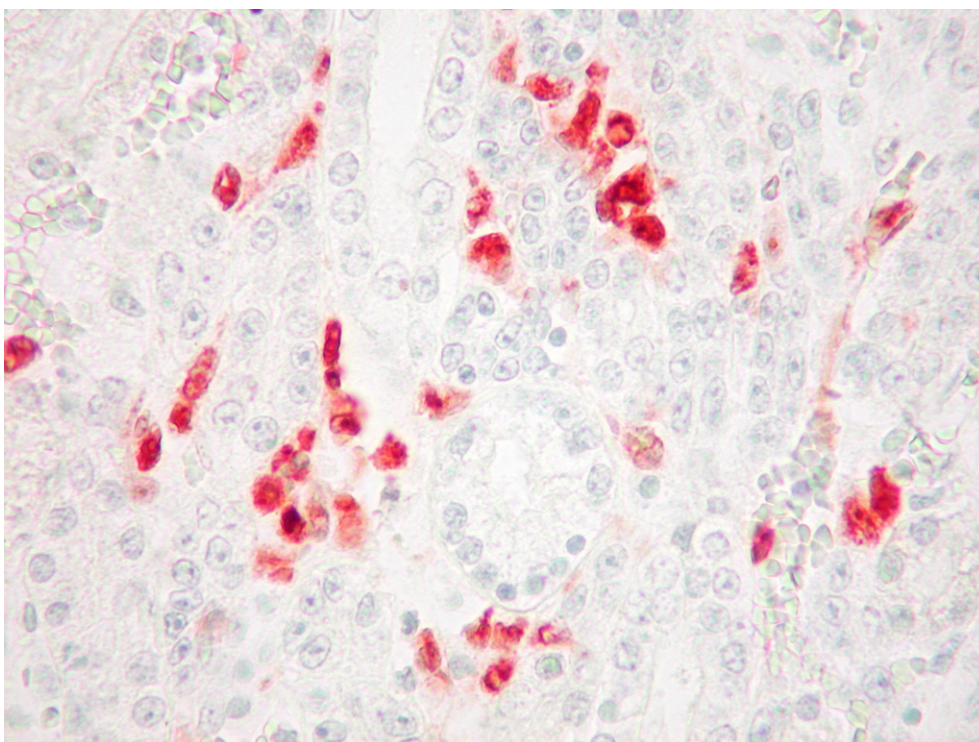
2.3. kép: Egy EHV-1 fertőzés következtében elvetélt magzat tüdeje. Acidofil magzárványok (nyilak) láthatók egy bronchiolus hámsejtjeiben. (HE, 400×)



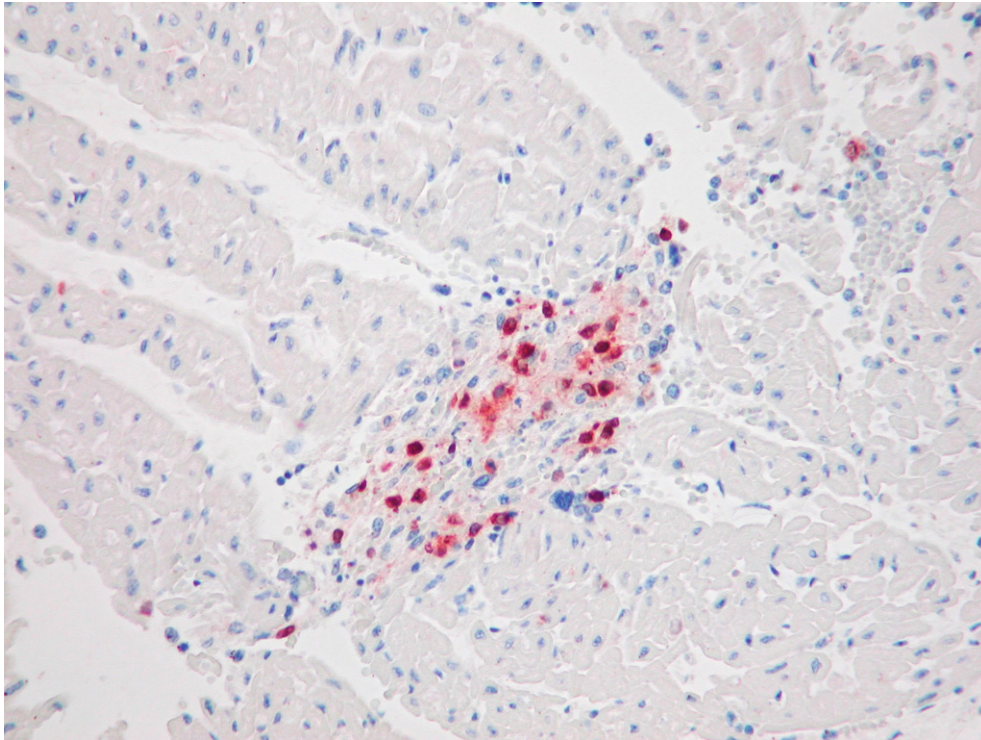
2.4. kép: Magzati tüdő. EHV-1-gyel fertőzött hámsejtek és leukocyta (nyílfej) egy bronchusban. A magzárványok különösen erősen festődnek (nyilak). (IH, 200×)



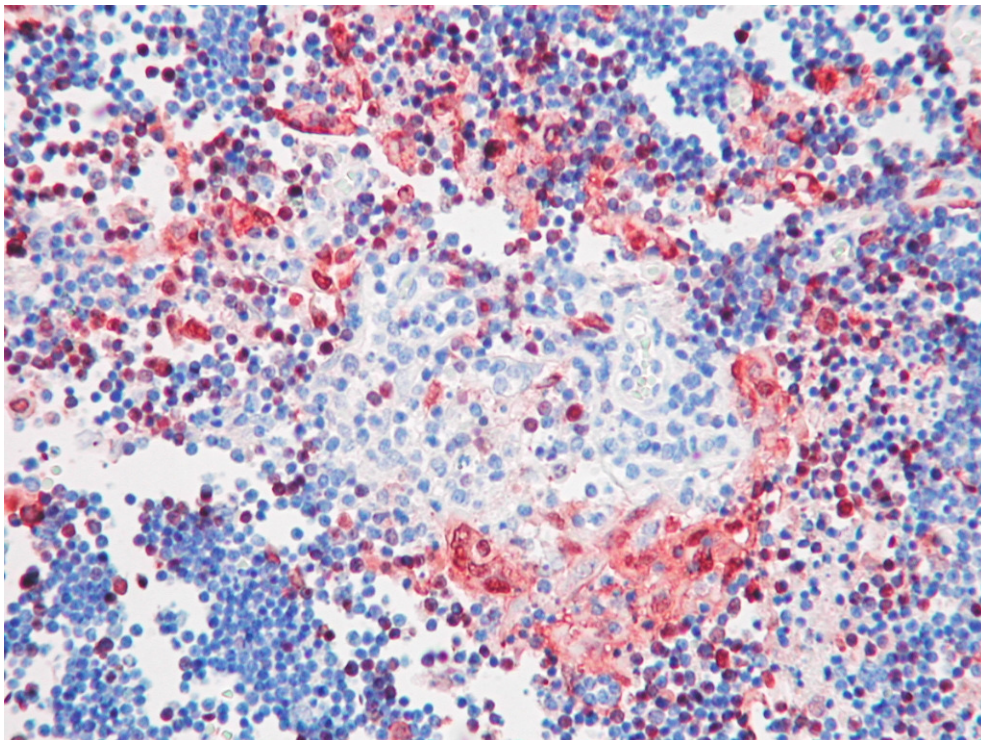
2.5. kép: Magzati tüdő. Számos EHV-1-gyel fertőzött alveolaris makrofág és hámsejt a tüdő állományában. (IH, 200×)



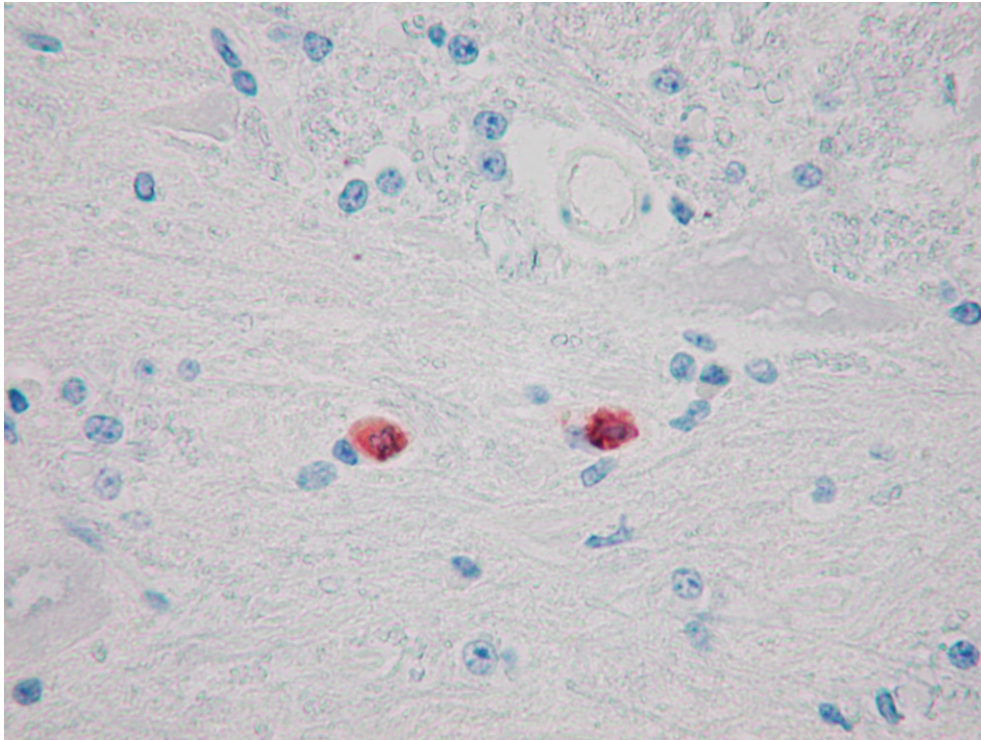
2.6. kép: Magzati vese. EHV-1-gyel fertőzött makrofágok az interstitiumban. (IH, 400×)



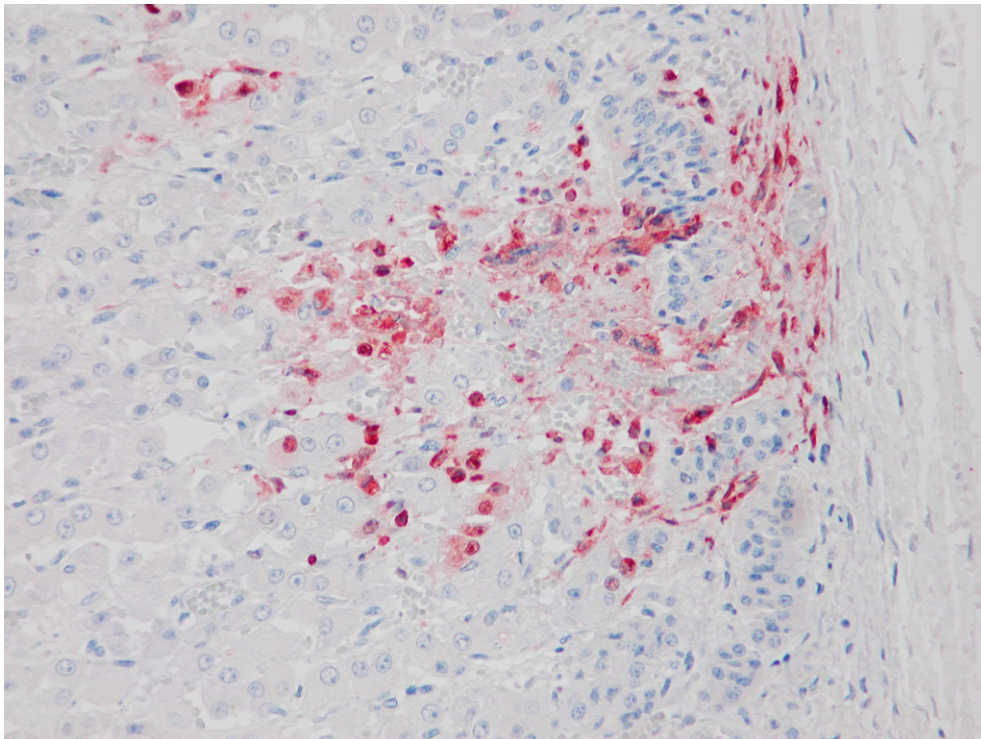
2.7. kép: Magzati szívizom. EHV-1-gyel fertőzött makrofágok egy elhalásos, gyulladásos gócban. (IH, 200×)



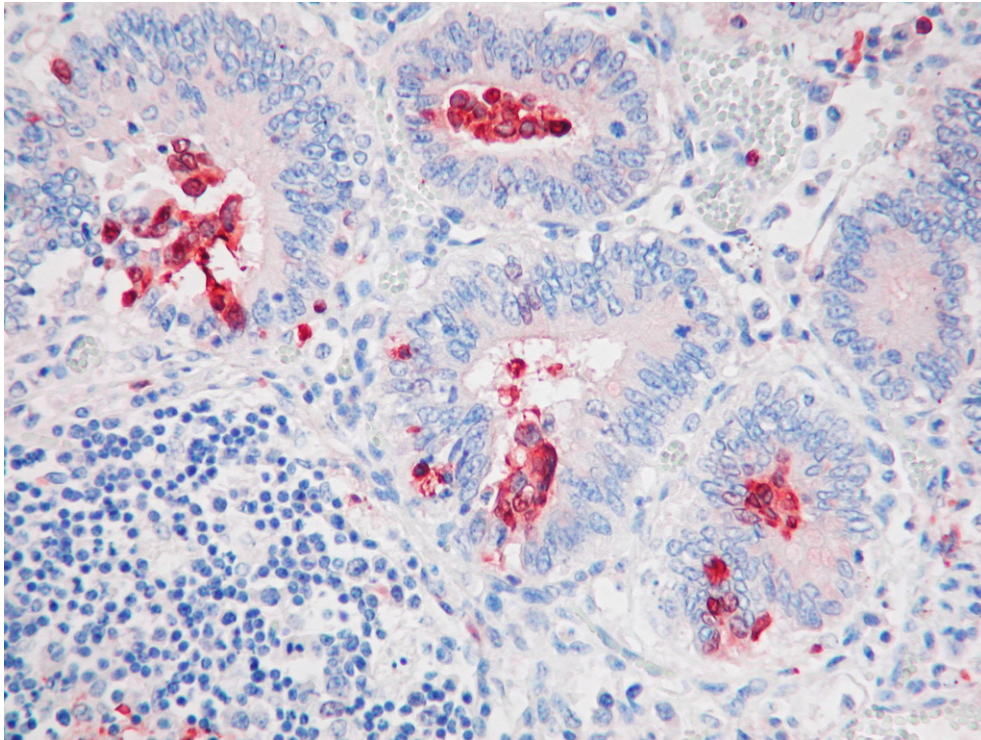
2.8. kép: Magzati thymus. EHV-1-gyel fertőzött makrofágok és reticulum sejtek a Hassal-testben és annak környezetében. IH, 200×



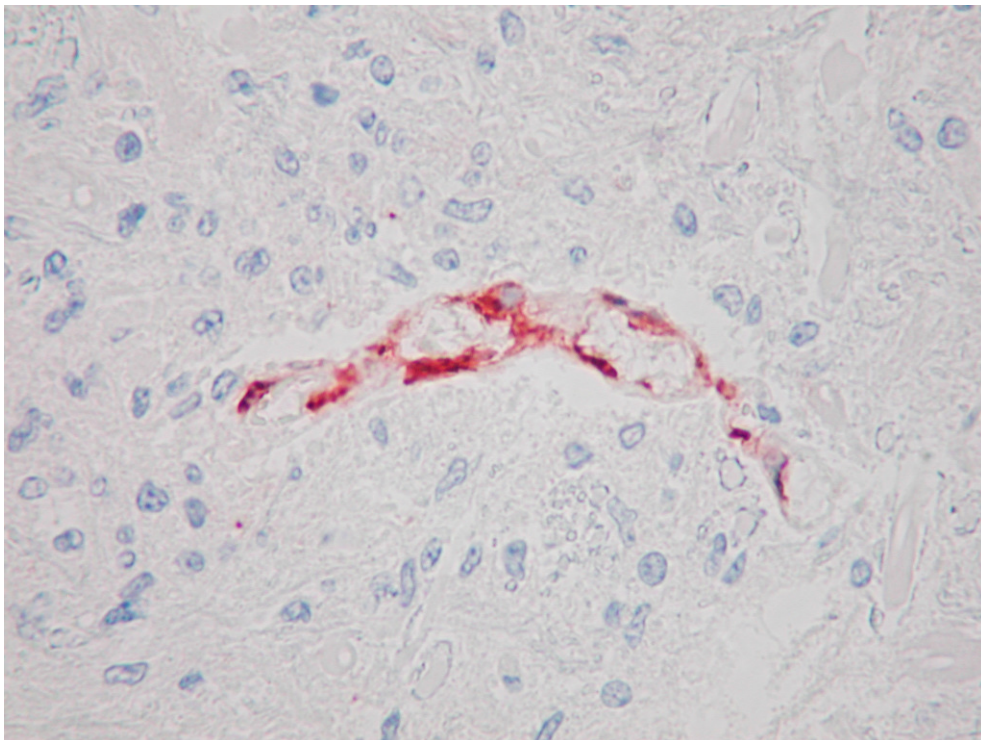
2.9. kép: Magzati agyvelő. EHV-1-gyel fertőzött mikrogliasejtek. (IH, 400×)



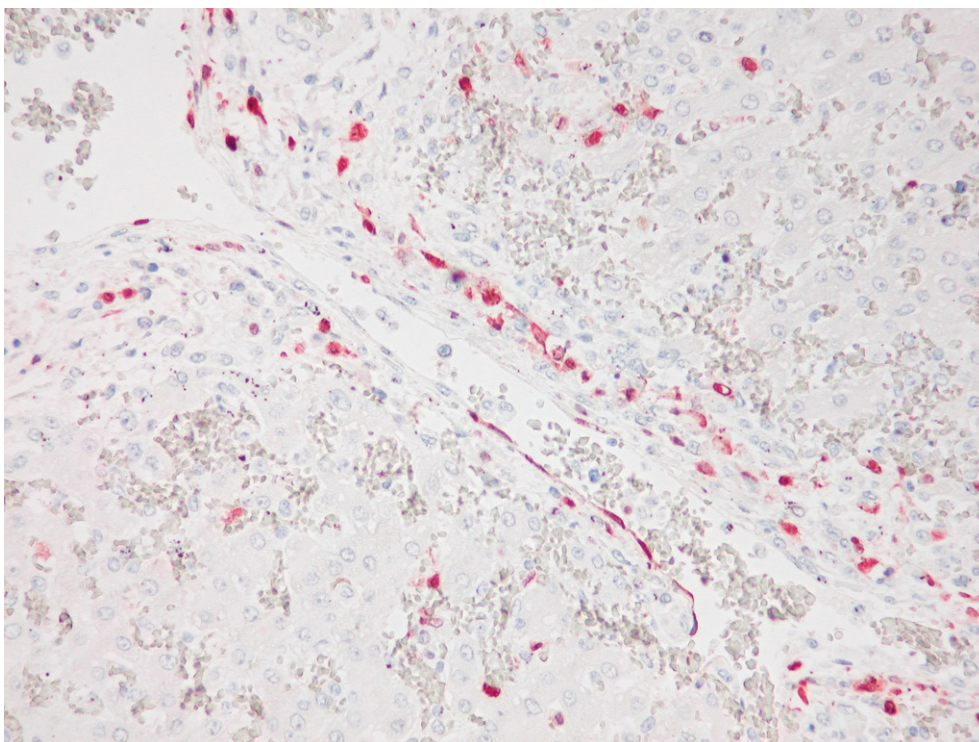
2.10. kép: Magzati mellékvese. EHV-1-gyel fertőzött sejtek a kéregállományban egy friss elhalásos gócban és a szerv tokjában. (IH, 400×)



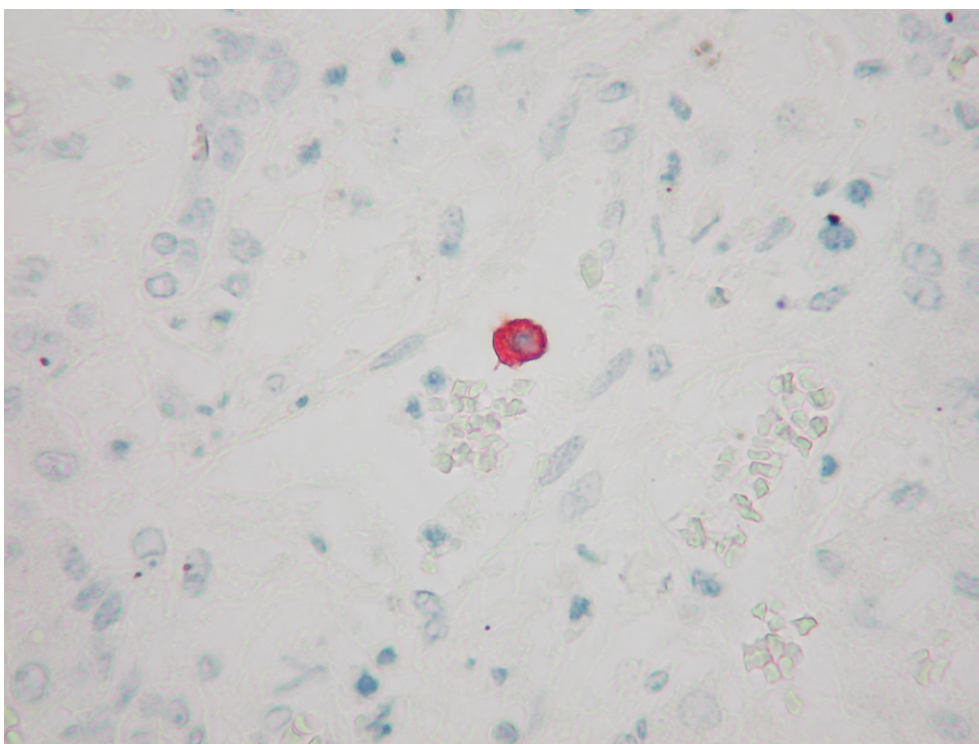
2.11. kép: Magzati vékonybél. EHV-1-gyel fertőzött ép és levált enterocyták és makrofágok. (IH, 200×)



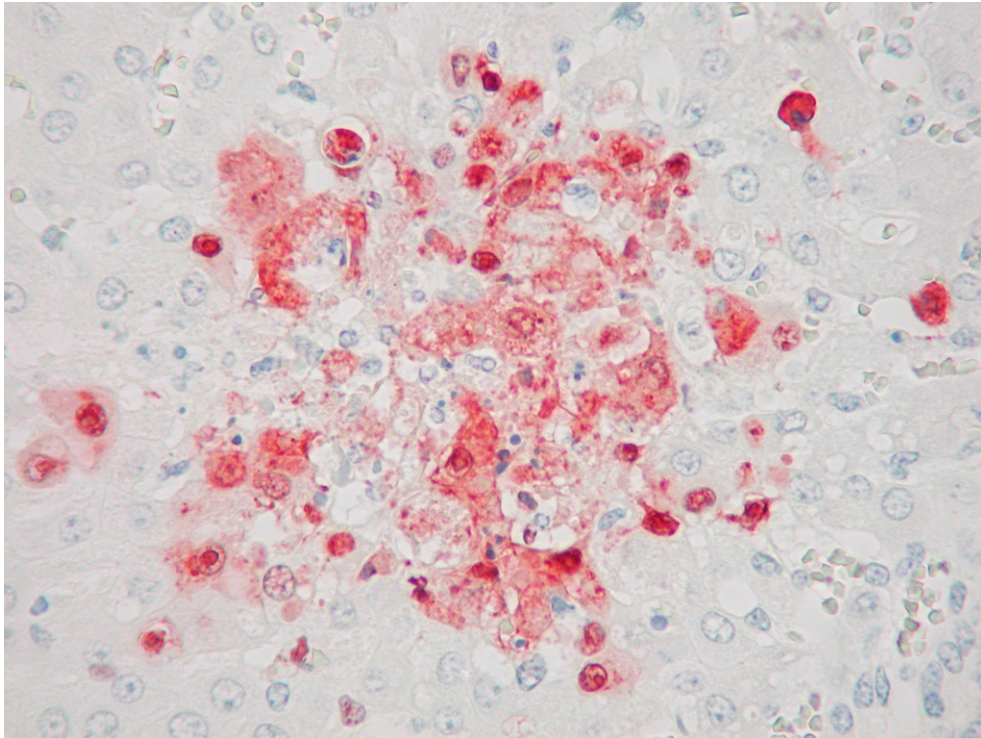
2.12. kép: Magzati agyvelő. EHV-1-gyel fertőzött endothelsejtek egy kapillárisban, amely körül erős gliasejt-proliferáció látható. (IH, 400×)



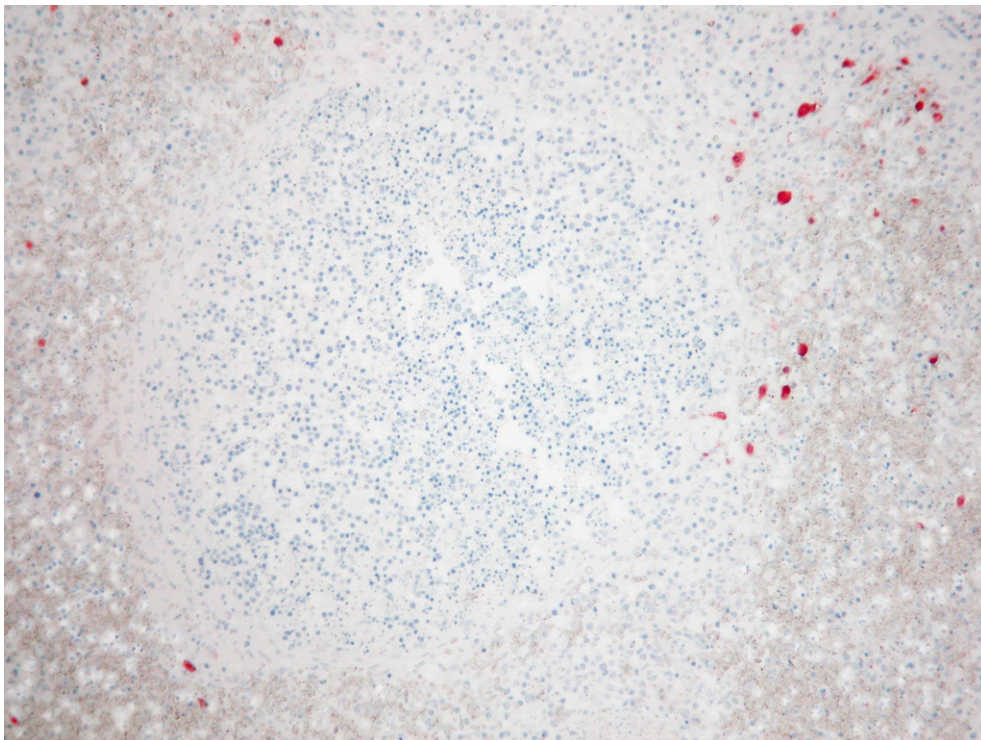
2.13. kép: Magzati máj. EHV-1-gyel fertőzött endothel sejtek és makrofágok a portális területen. (IH, 200×)



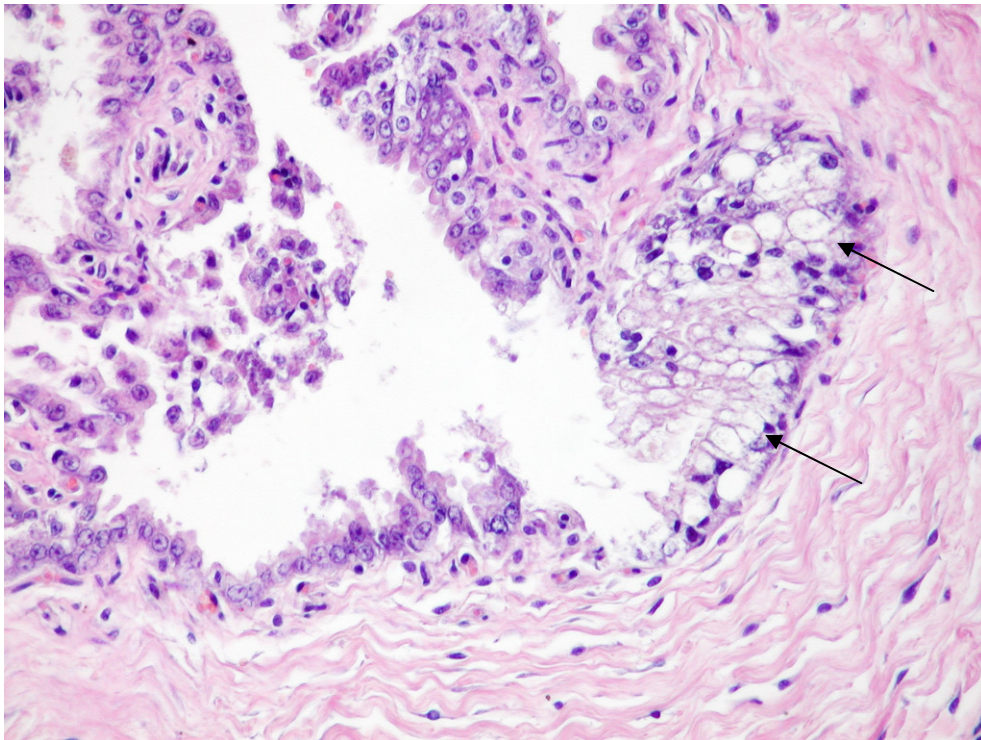
2.14. kép: Magzati máj. EHV-1-gyel fertőzött monocyta a sinusoidban. (IH, 400×)



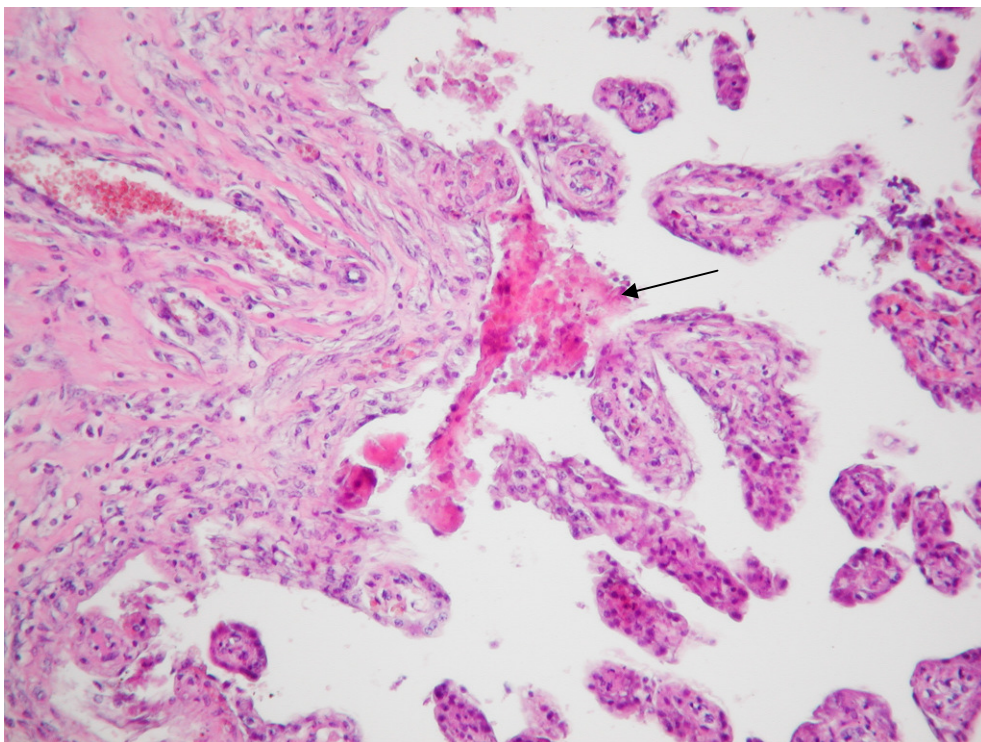
2.15. kép: Magzati máj. EHV-1-gyel fertőzött hepatocyták és makrofágok egy elhalásos gócban. (IH, 400×)



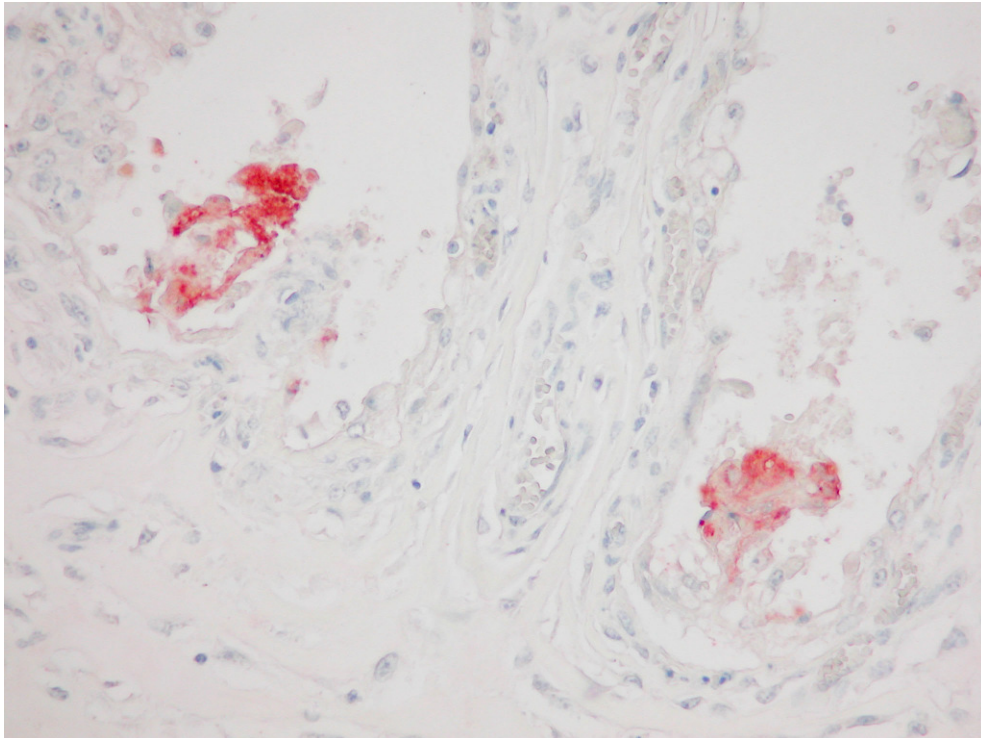
2.16. kép: Magzati lép. A folliculusban kialakult diffúz sejtelhalás területén EHV-1-antigén nem látható. (IH, 100×)



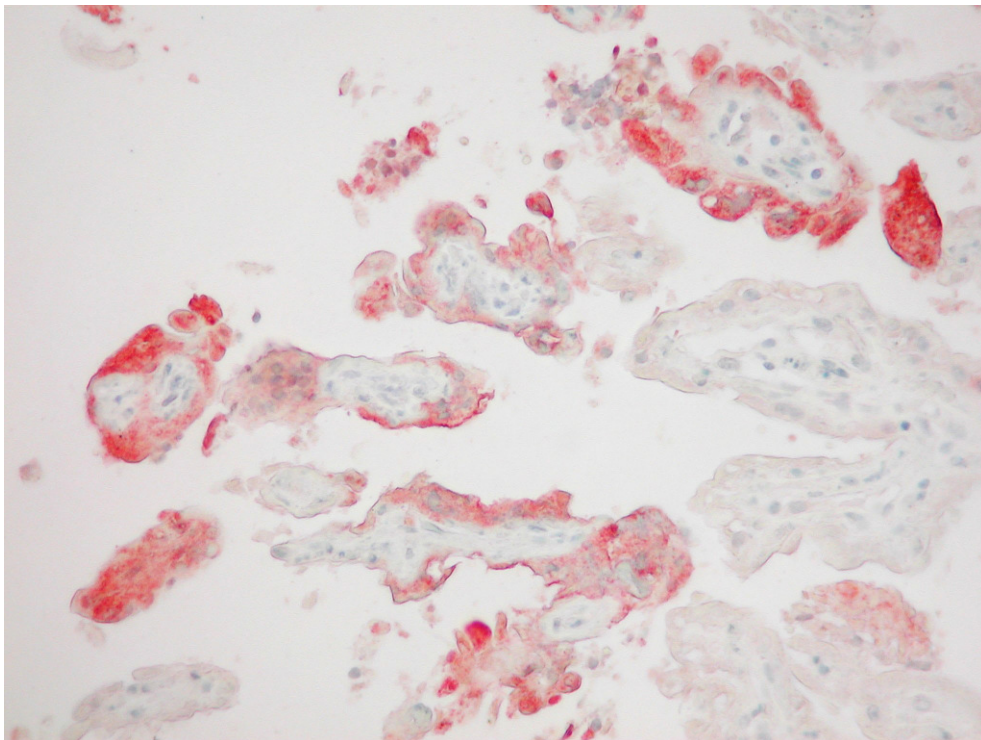
2.17. kép: EHV-1-gyel fertőzött allantochorion. Vacuolás elfajulás az árkádokban helyet foglaló chorionhámsejtekben (nyilak). (HE, 200×)



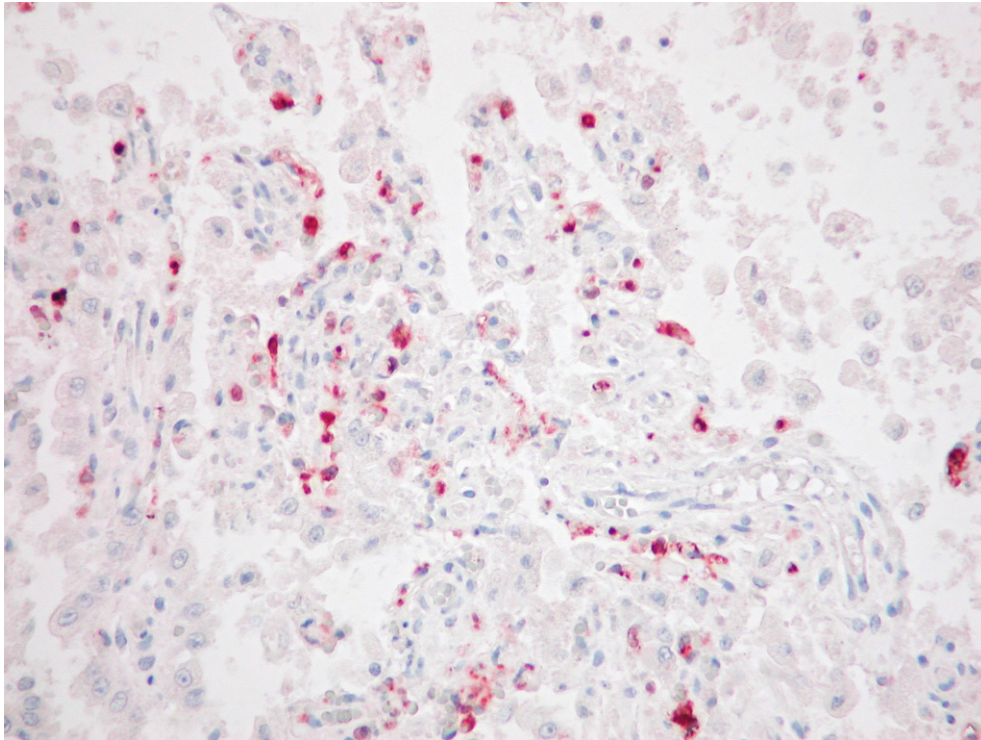
2.18. kép: EHV-1-gyel fertőzött allantochorion. Enyhe lympho-histiocytas gyulladás és feltehetően a levált chorionhámsejtekből származó, törmelékes anyag látható a villusok között (nyíl). (HE, 200×)



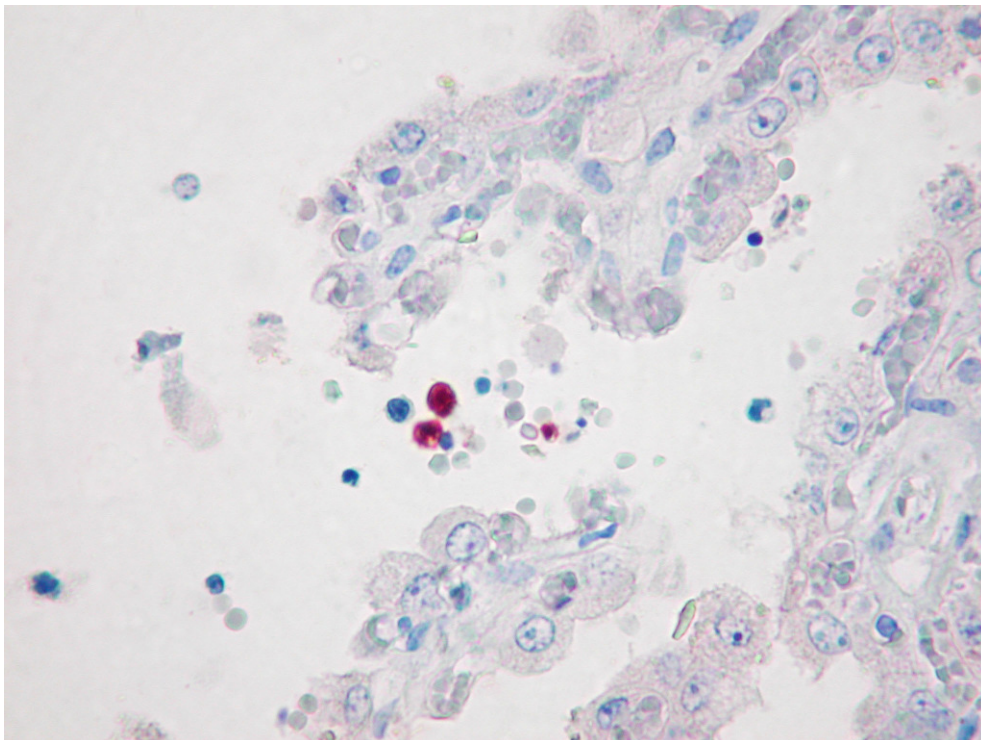
2.19. kép: EHV-1-gyel fertőzött allantochorion. Vírusantigén látható az árkádokban elhelyezkedő, elfajult chorionhámsejtekben. (IH, 200×)



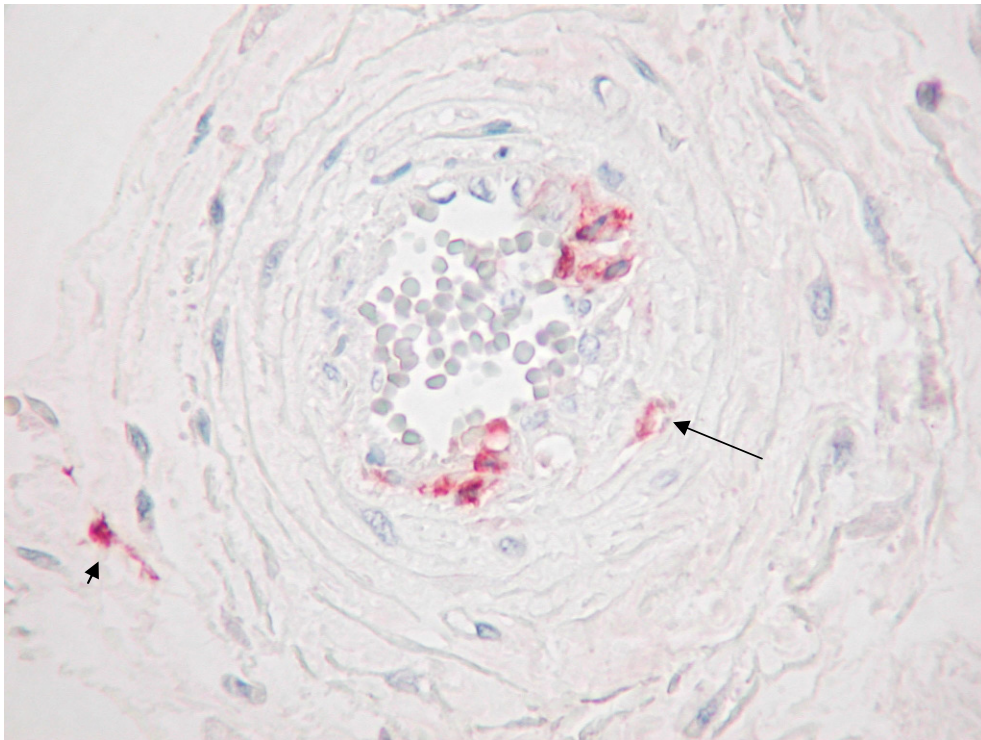
2.20. kép: EHV-1-gyel fertőzött allantochorion. Számos villus esetében valamennyi chorionhámsejt fertőzött a vírussal. (IH, 200×)



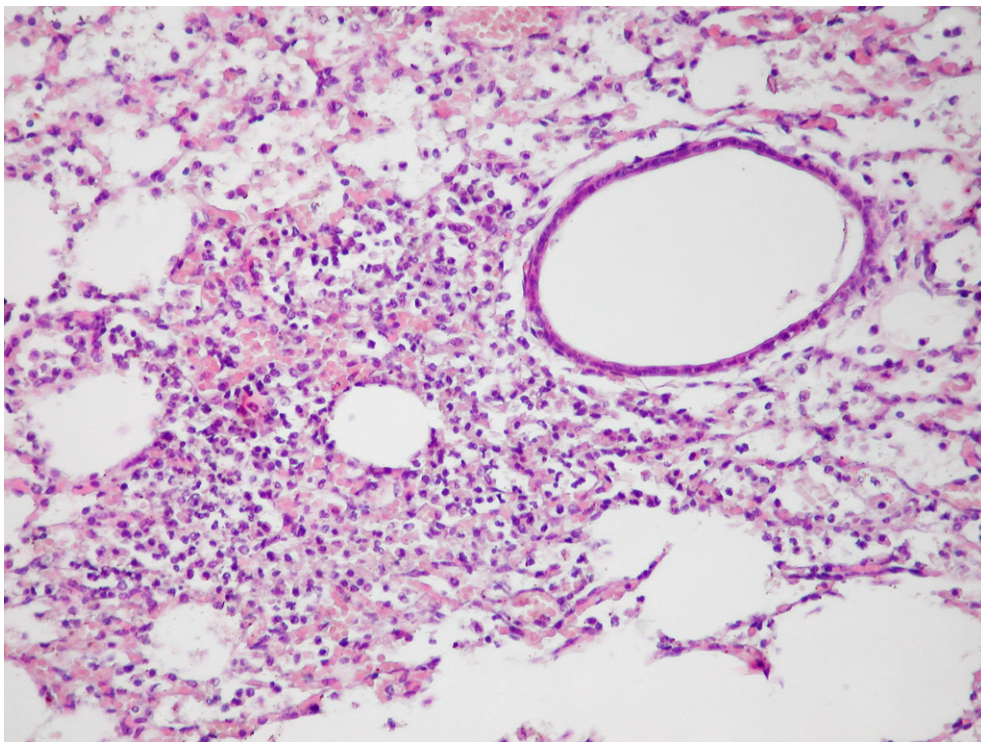
2.21. kép: EHV-1-gyel fertőzött allantochorion. A vírus a villusokat borító chorionhámsejtben csak elszórtan fordul elő. (IH, 200×)



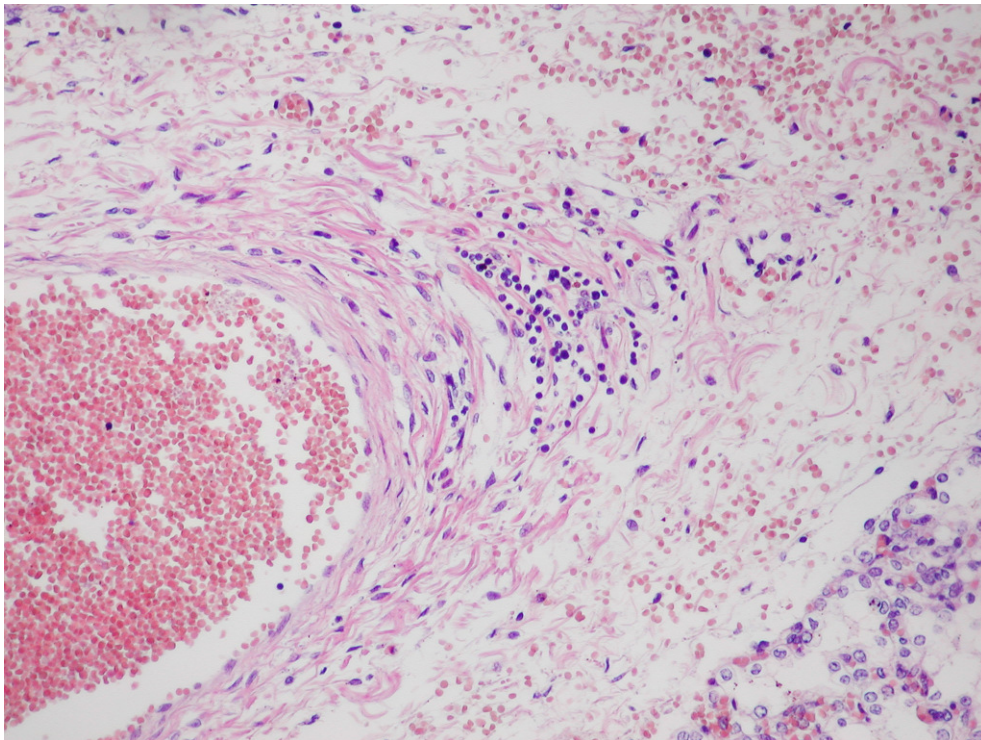
2.22. kép: EHV-1-gyel fertőzött allantochorion. Vírussal fertőzött monocyták szabadon a villusok közötti területen. (IH, 400×)



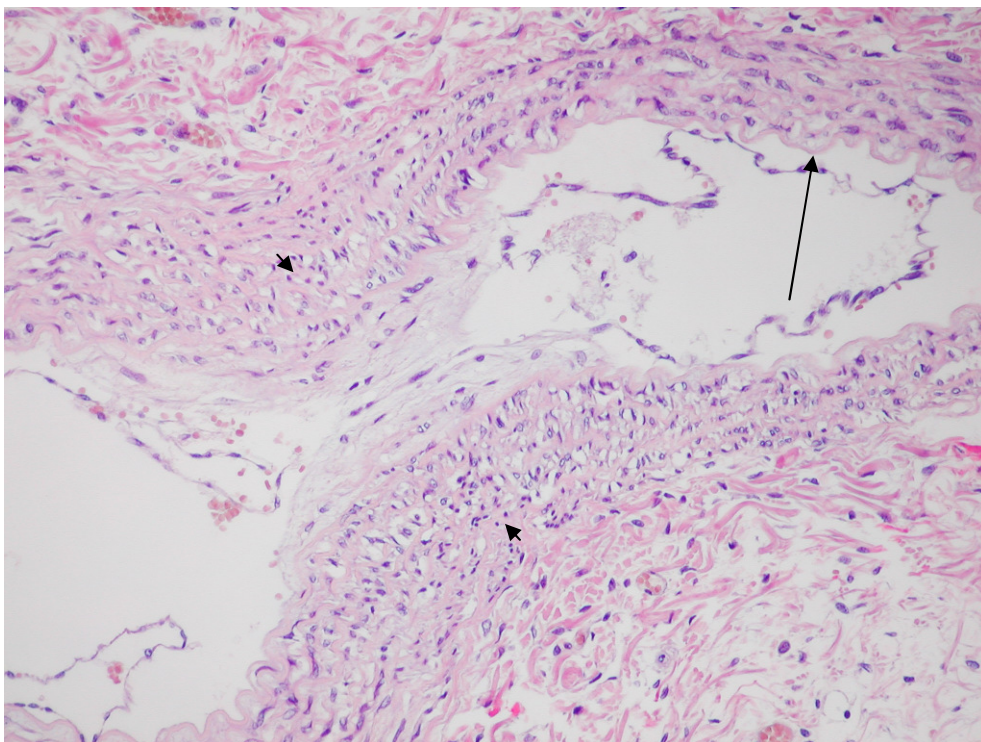
2.23. kép: Az allantoisban elhelyezkedő artéria egy EHV-1-gyel fertőzött allantochorionban. Vírusantigén látható az endothel sejtekben valamint egy myocytában (nyíl) és egy pericytában (nyílfej). (IH, 400×)



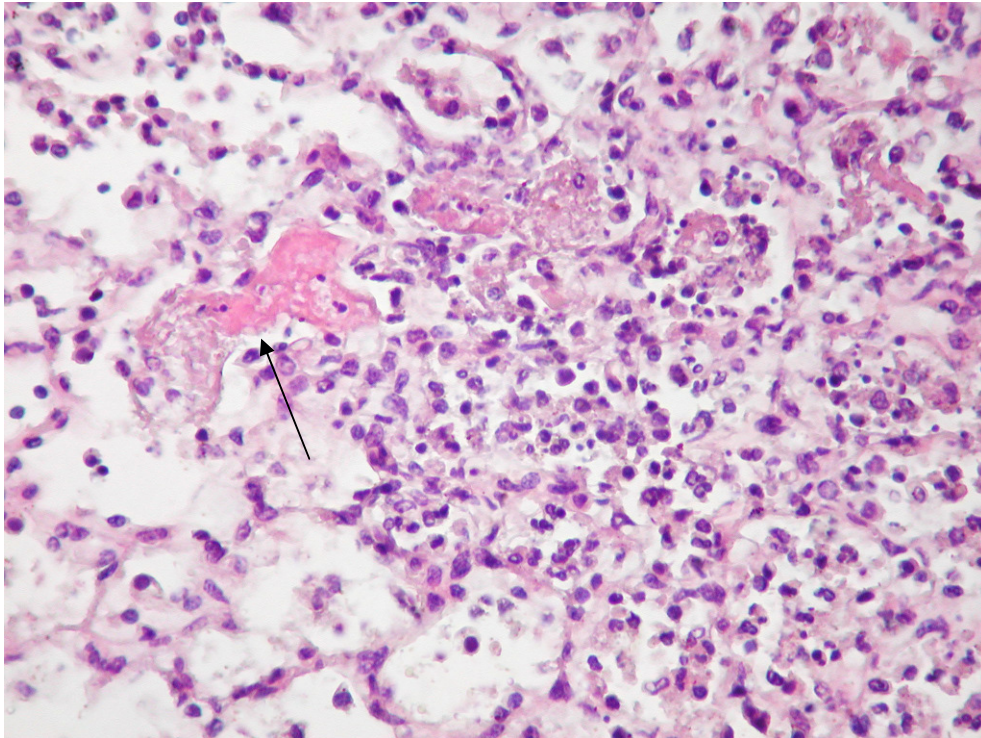
2.24. kép: EAV-val fertőzött magzat tüdeje. Interstitialis gyulladás látható egy bronchiolus mellett. (HE, 200×).



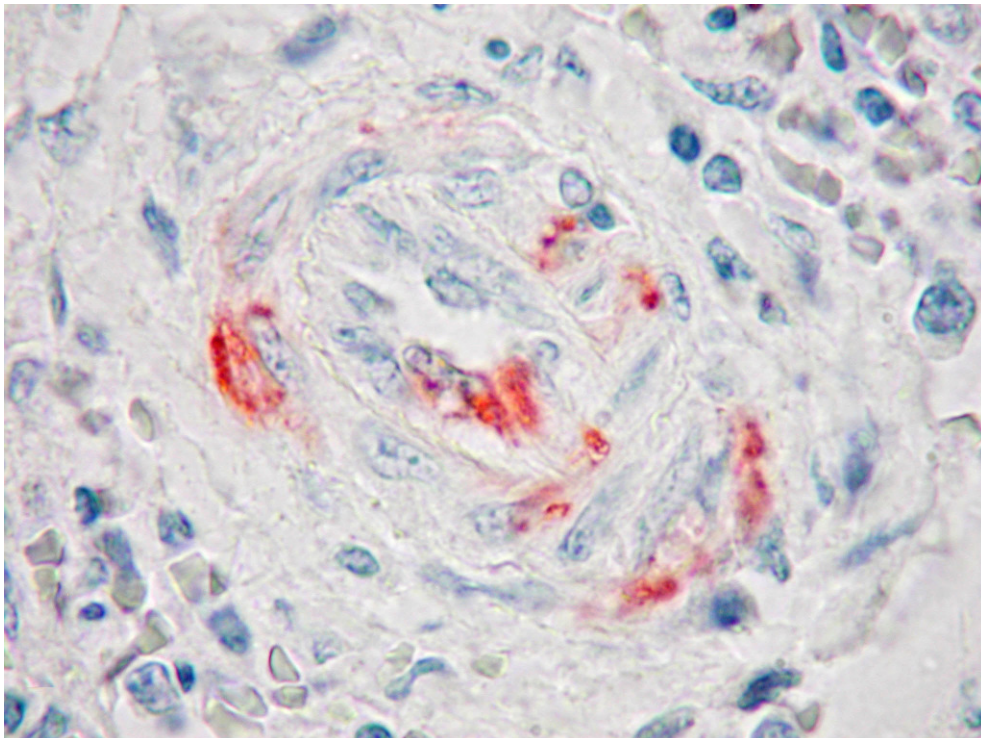
2.25. kép: EAV-val fertőzött magzat tüdeje. Vasculitis egy kis, muscularis típusú artériában. Friss keletű vérzés az adventitiában. (HE, 400×).



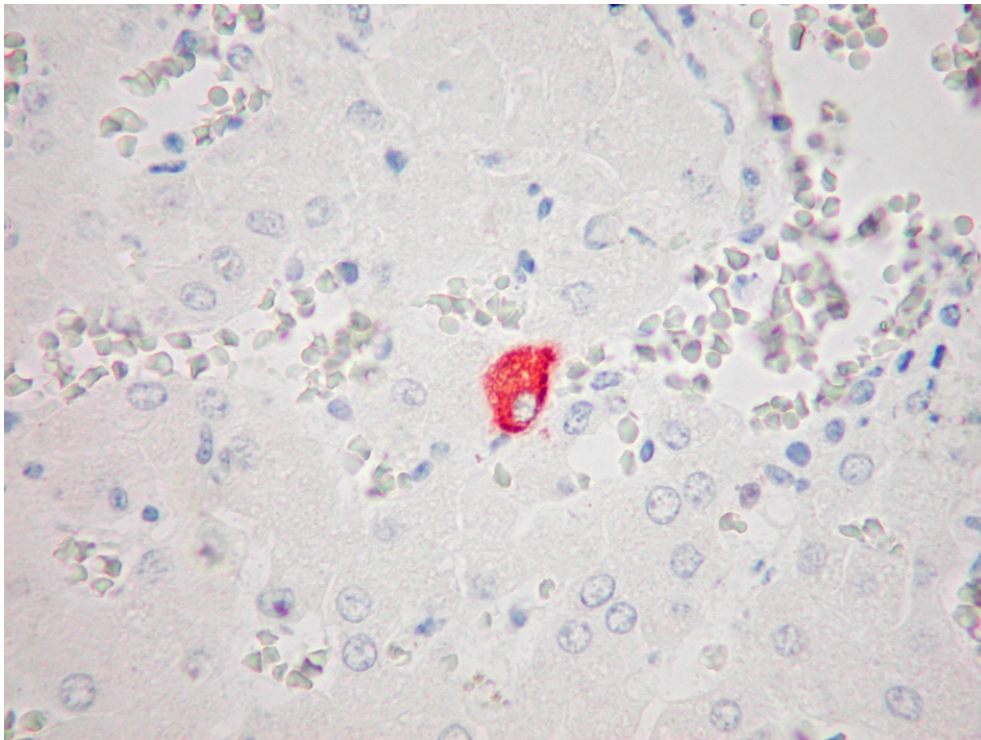
2.26. kép: EAV-val fertőzött magzat tüdeje. Egy kis, muscularis típusú artéria falában kifejezett vizenyővel kísért vasculitis látható (nyílfejek). Az ép artériarészletet nyíl jelzi. (HE, 200×)



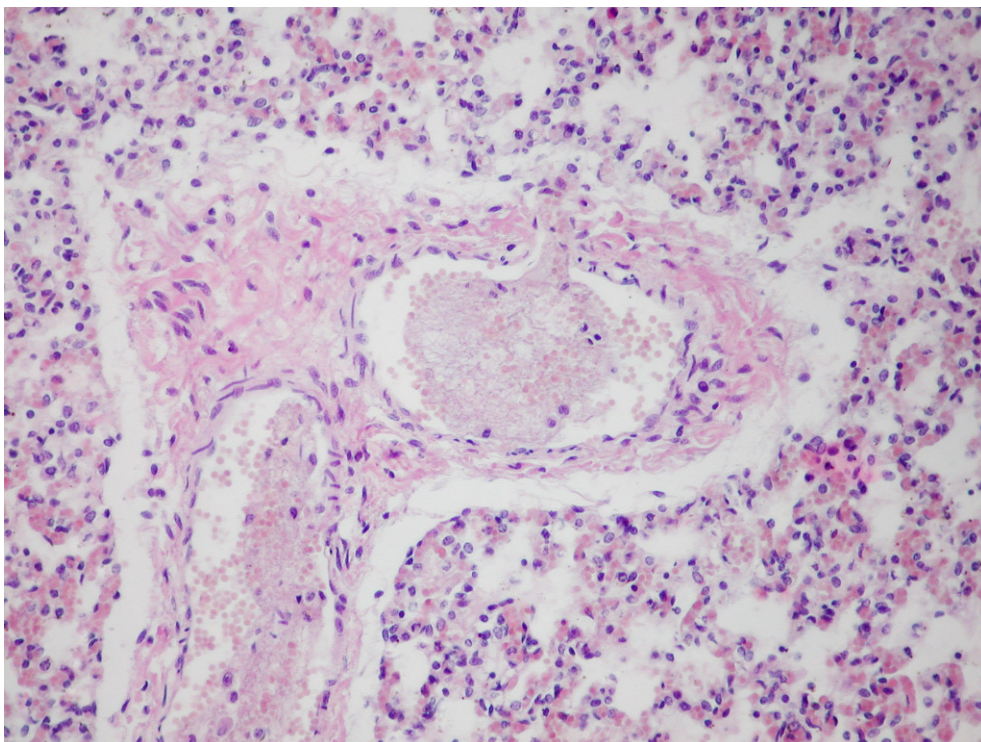
2.27. kép: EAV-val fertőzött magzat tüdeje. Intraalveolaris hyalin membrán (nyíl) és intraalveolaris, interstitialis gyulladás látható. Az alveolusok üregében a makrofágok mellett elhalt sejtek és kevés neutrofil granulocytá is látható. (HE, 400×).



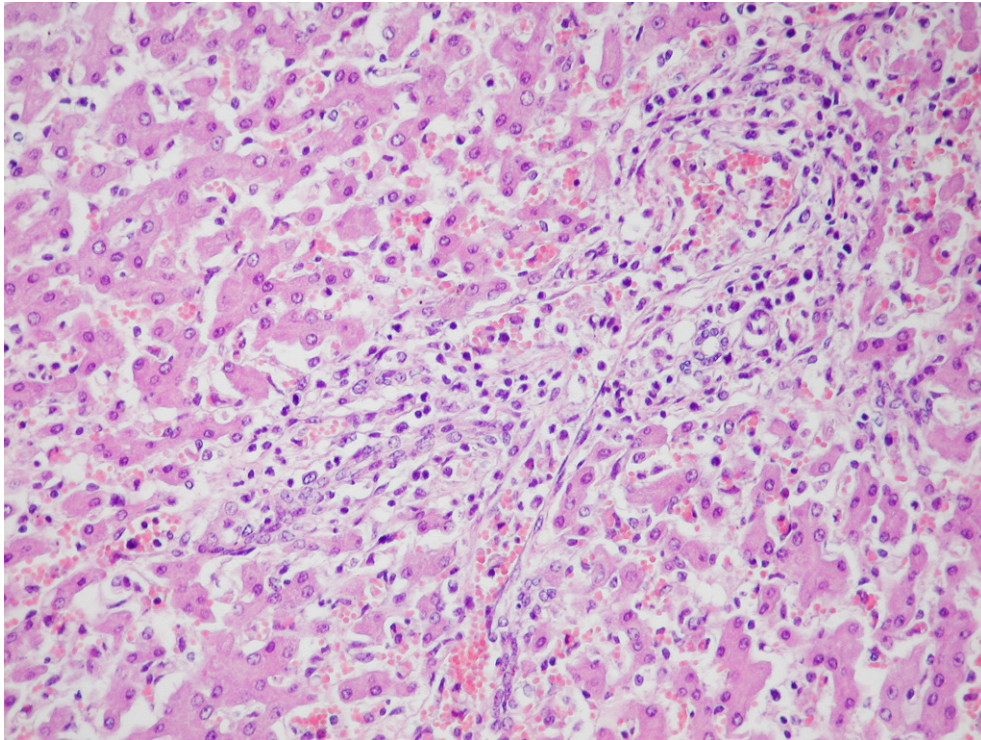
2.28. kép: EAV-val fertőzött magzat lépe. Egy kis, muscularis típusú artéria endothelsejtjeiben és myocytáiban látható a vírusantigén. (IH, N-specifikus Mab, 1000×)



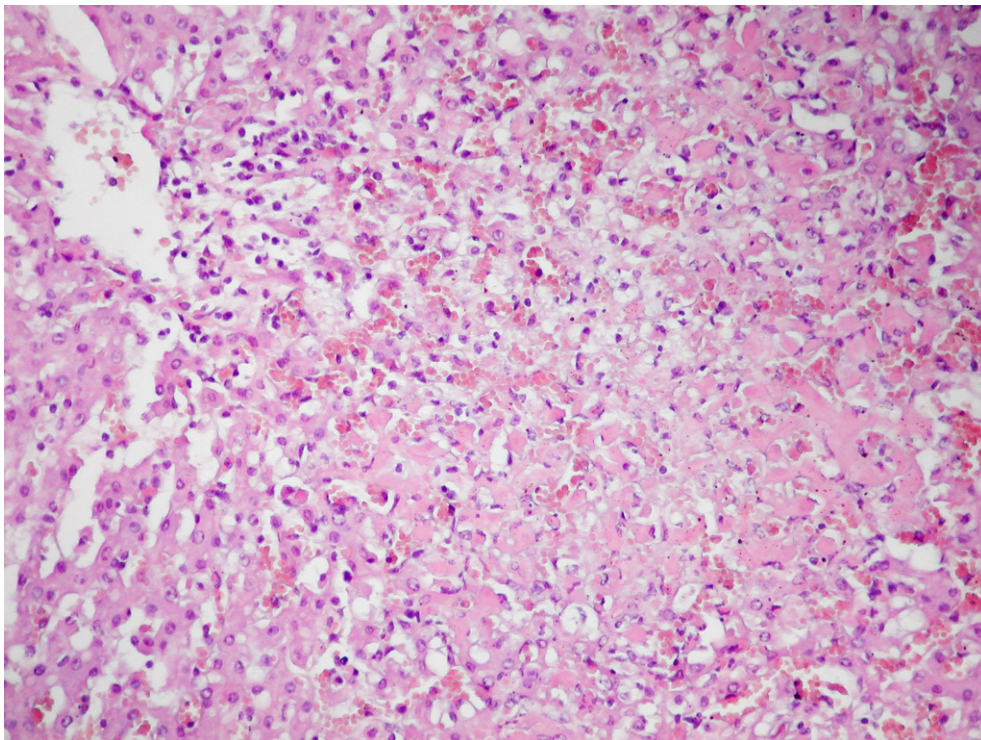
2.29. kép: EAV-val fertőzött magzat mája. A vírusantigén teljesen kitölti egy hepatocytá cytoplasmáját. (IH, N-specifikus Mab, 400×)



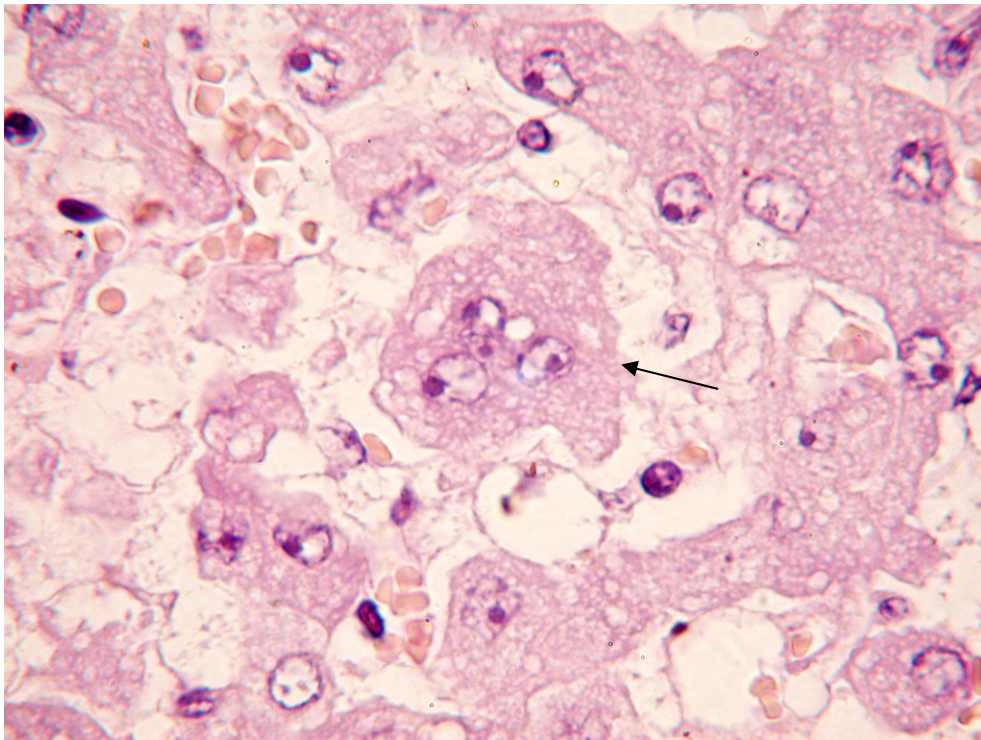
2.30. kép: *Leptospirával* fertőzött magzat tüdeje. Friss thrombusok az artériákban. (HE, 200×)



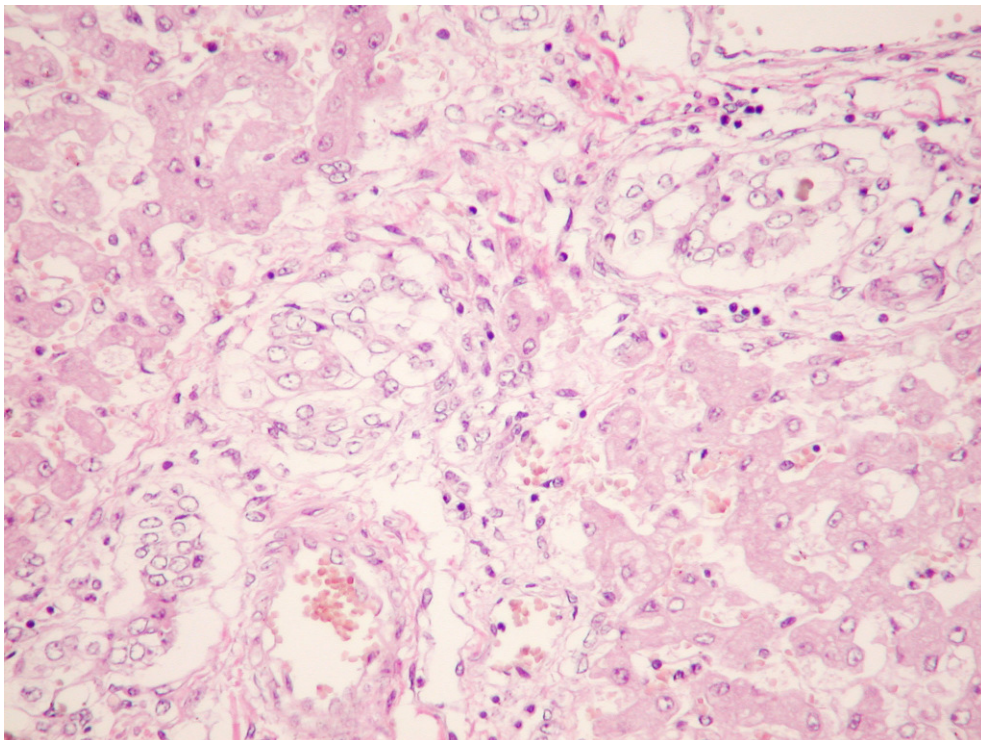
2.31. kép: *Leptospirával* fertőzött magzat mája. Lympho-histiocytás és neutrofil granulocytás beszűrődés a portális területen. (HE, 200×)



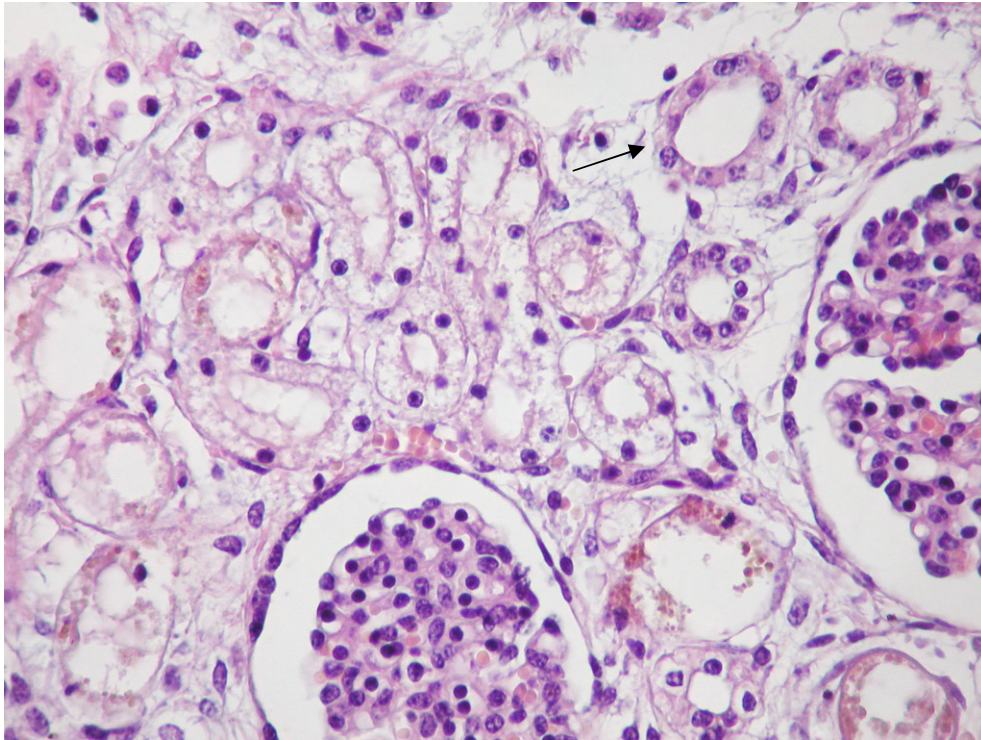
2.32. kép: *Leptospirával* fertőzött magzat mája. Friss keletű, körülírt elhalás. (HE, 200×)



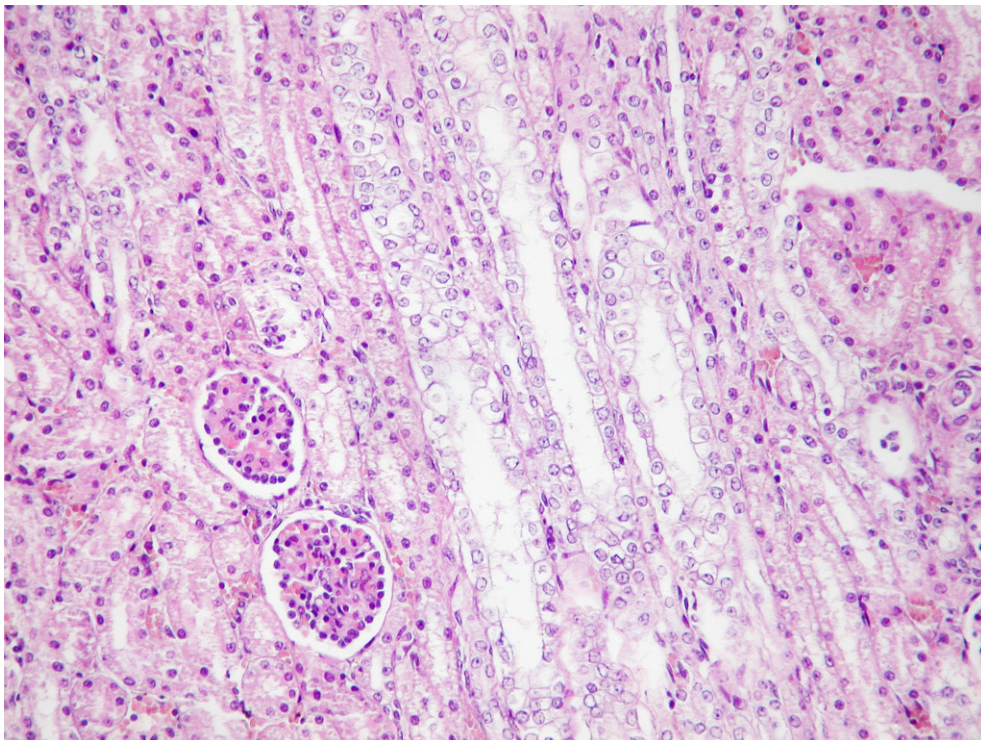
2.33. kép: *Leptospirával* fertőzött magzat mája. A májsejtek disszociációja és többmagú, óriás hepatocytá (nyíl) látható. (HE, 1000×)



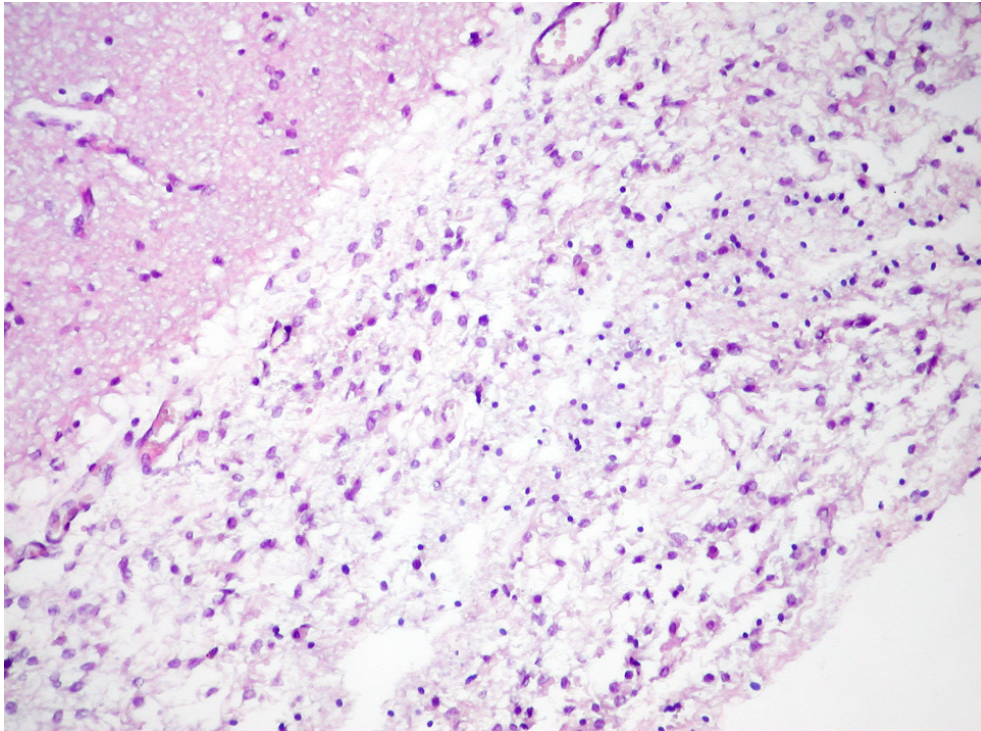
2.34. kép: *Leptospirával* fertőzött magzat mája. A portális területen kifejezett epeér-proliferáció, az epeerek hámsejtjeinek ballonizáló elfajulása, epepangás és enyhe lympho-histiocytás beszűrődés látható. (HE, 200×)



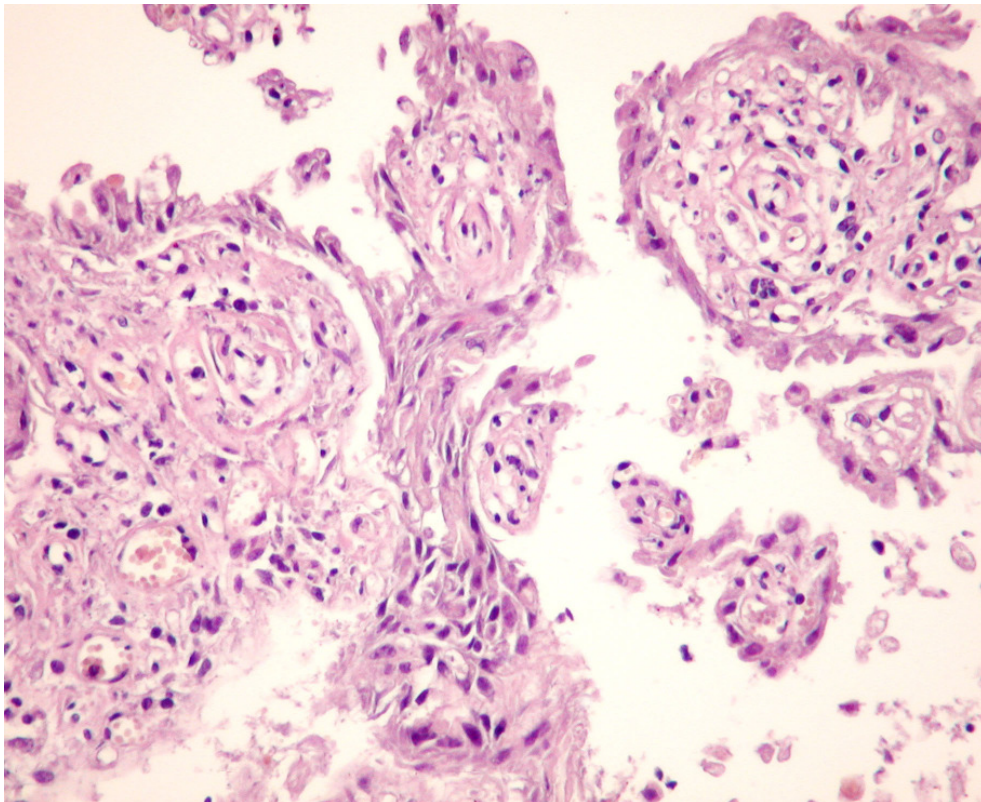
2.35. kép: *Leptospirával* fertőzött magzat veséje. A tubulusok többségében heveny elfajulás látható. Ép tubulus csak elvétve figyelhető meg (nyíl). (HE, 400×)



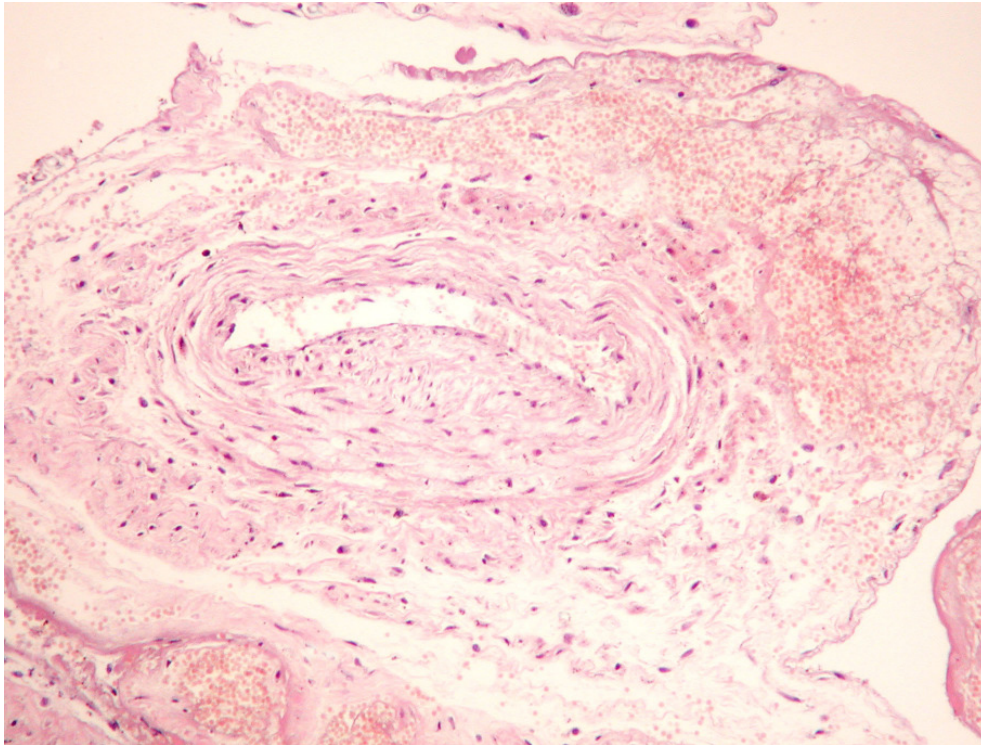
2.36. kép: *Leptospirával* fertőzött magzat veséje. A kéregállományban elhelyezkedő néhány tubulus kitágult. (HE, 200×)



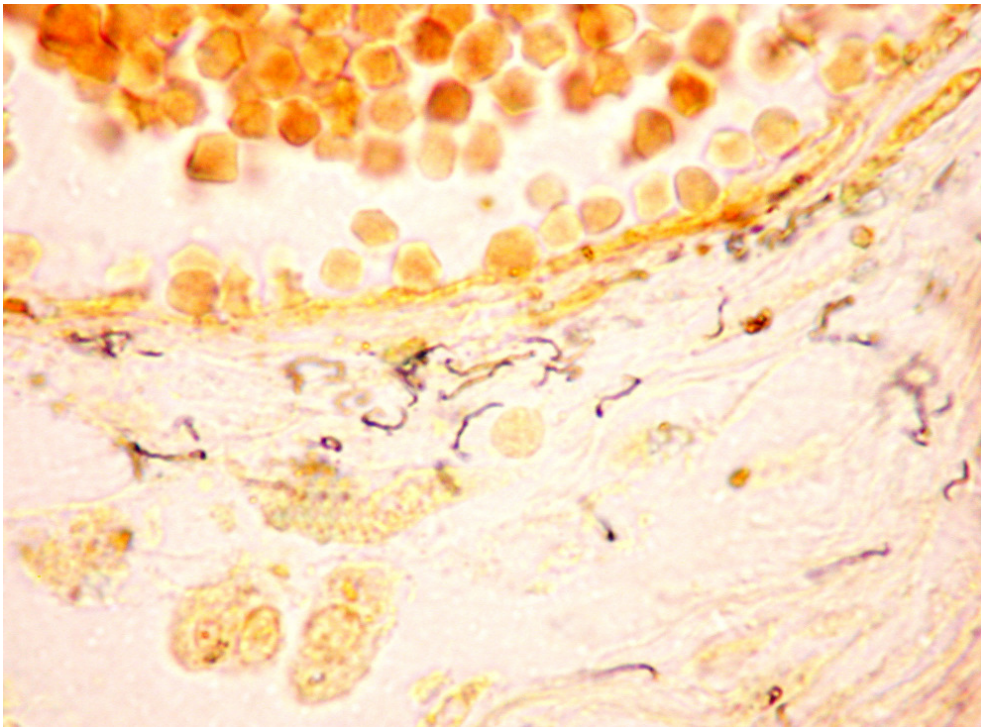
2.37. kép: *Leptospirával* fertőzött magzat agyveleje. Az agyburokban vizenyöt és enyhe fokú, lympho-histiocytás gyulladást lehet látni. (HE, 200×)



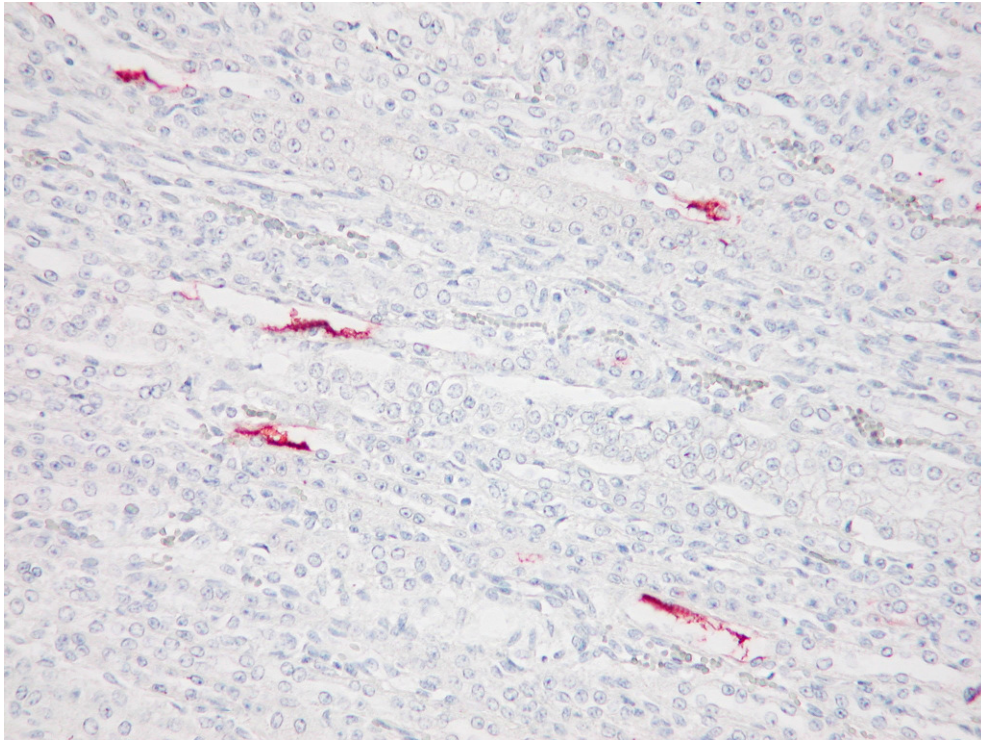
2.38. kép: *Leptospirával* fertőzött magzat allantochorionjában enyhe fokú, lympho-histiocytás villitis látható. (HE, 200×)



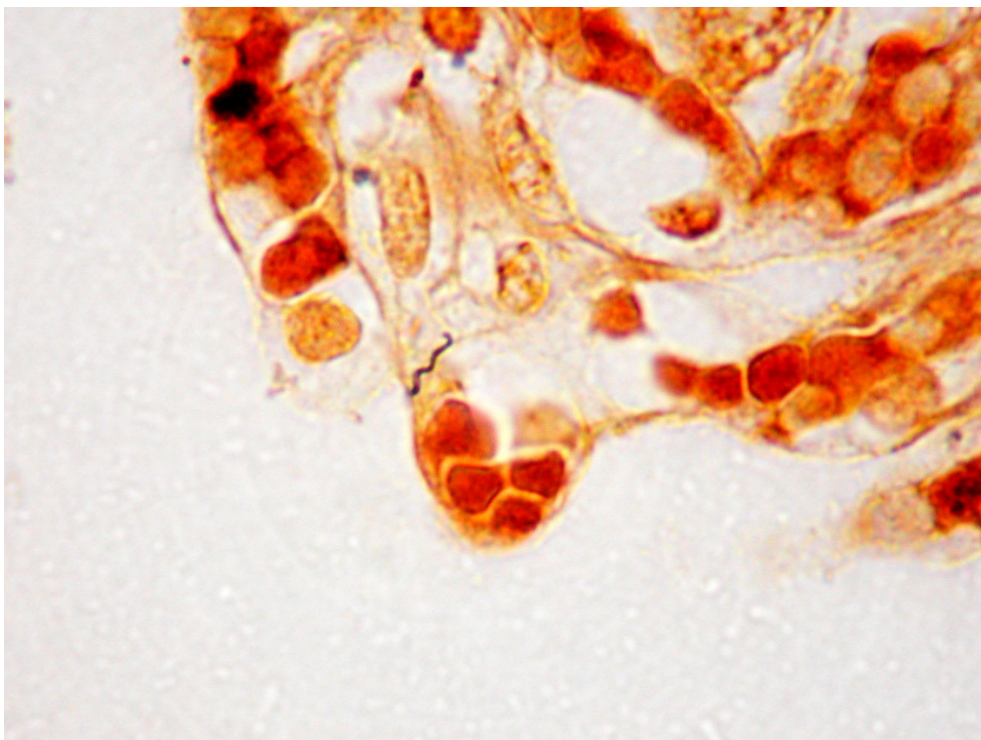
2.39. kép: *Leptospirával* fertőzött magzat allantochorionja. Egy artériában vizenyőt, elfajulást és körülötte friss keletű, kiterjedt vérzést lehet látni. (HE, 100×)



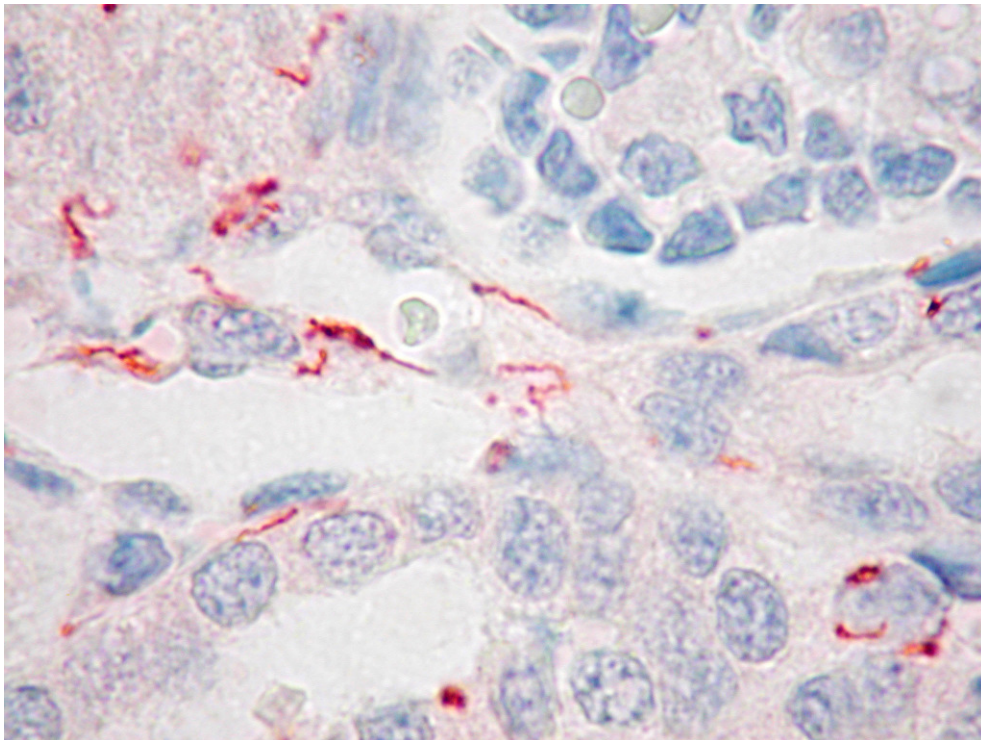
2.40. kép: Számos *Leptospira* egy allantochorionban elhelyezkedő vérér körüli kötőszövetben. (argyrophil-reakció, 1000×)



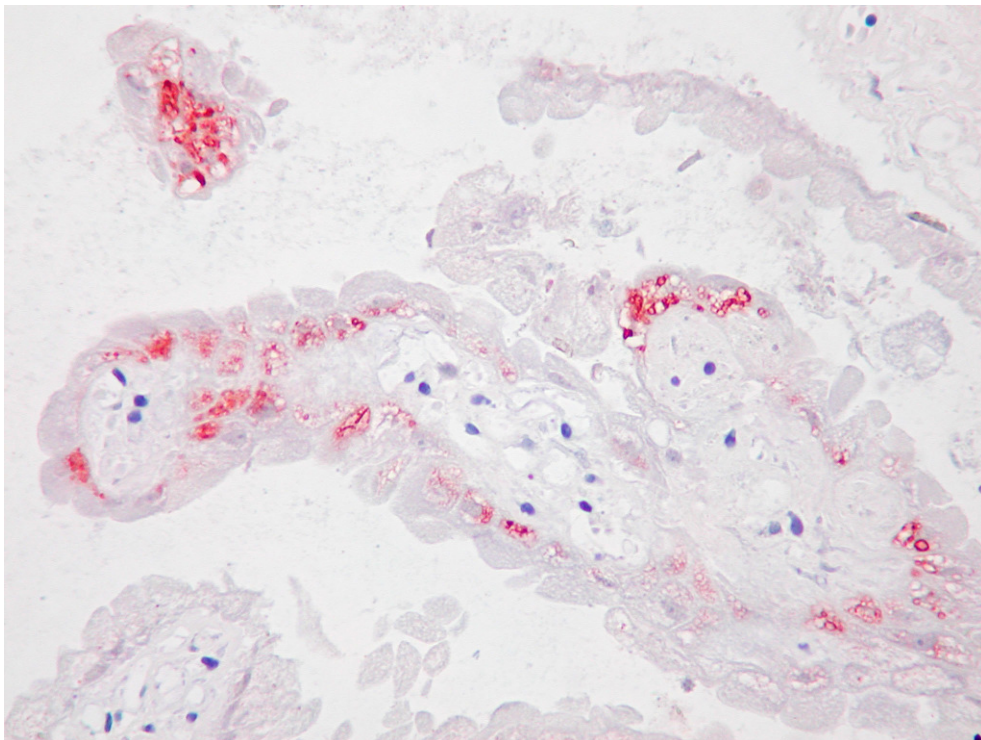
2.41. kép: Magzati vese. Nagy mennyiségű *Leptospira*-antigén a tubulusok üregében. (IH, 200×)



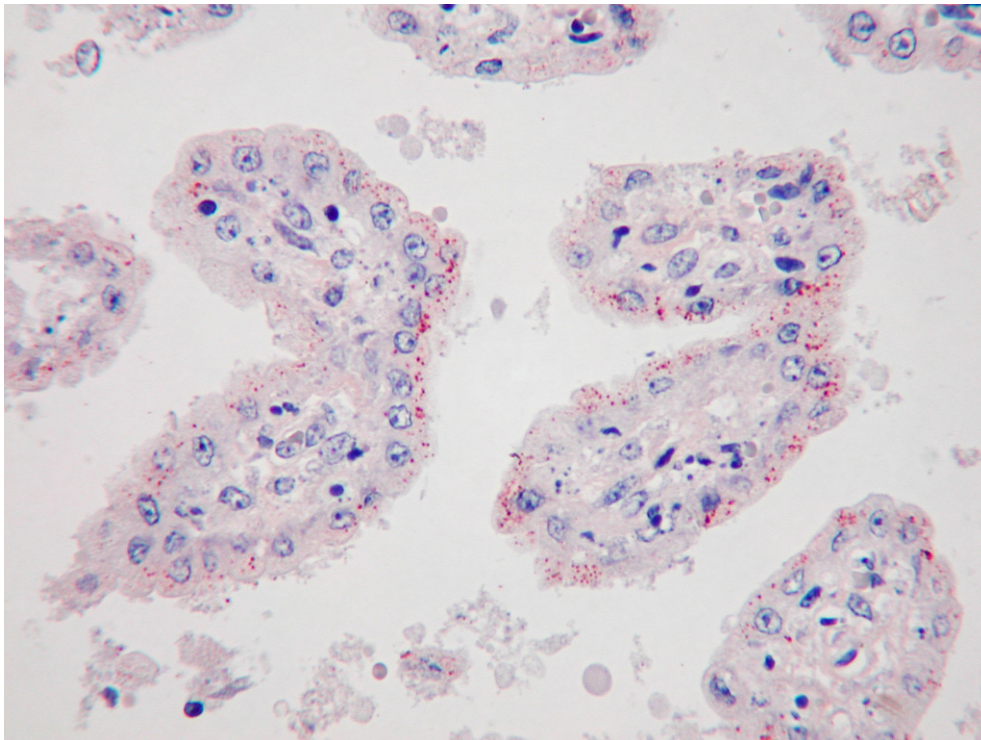
2.42. kép: Allantochorion. *Leptospira* egy chorionhámsejtben. (argyrophil-reakció, 1000×)



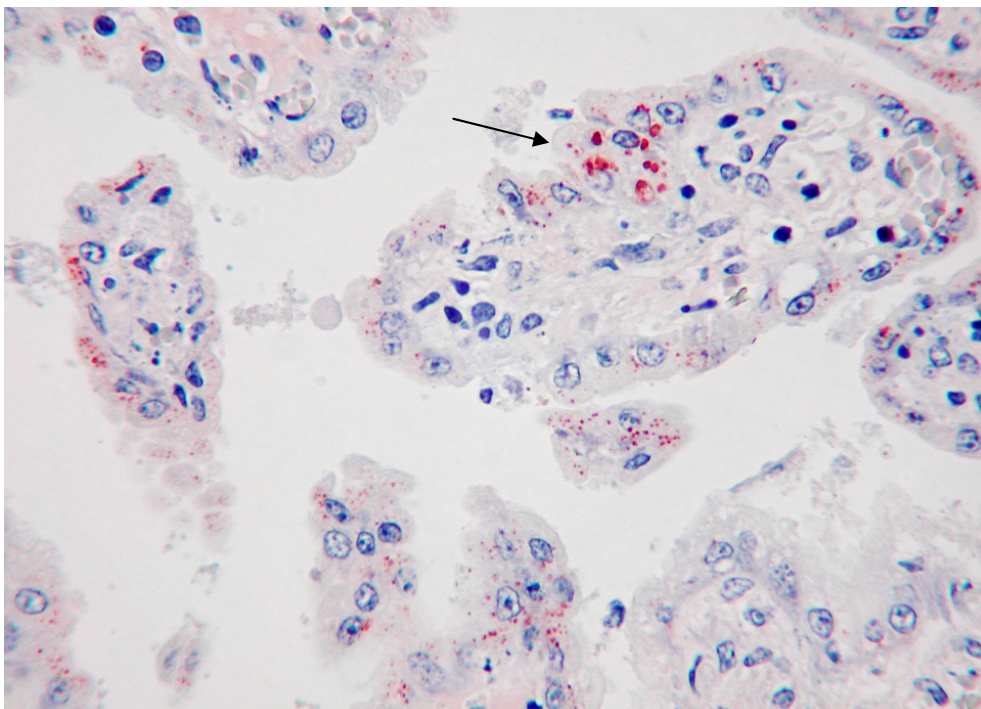
2.43. kép: Magzati vese. *Leptospira*-antigén látható intercellularisan és a tubulus-hámsejtekben. (IH, 200×)



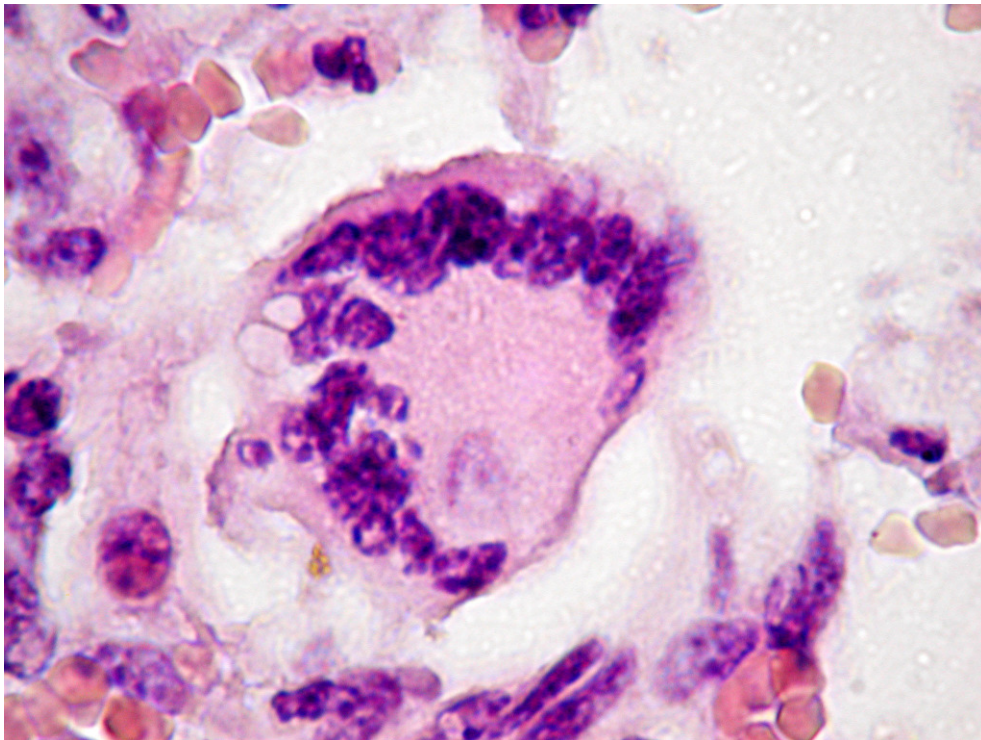
2.44. kép: *Chlamydia*val fertőzött allantochorion. Számos vacuoláson elfajult chorion epithelsejt cytoplasmájában látható diffúzan elhelyezkedő antigén. (IH, 400×)



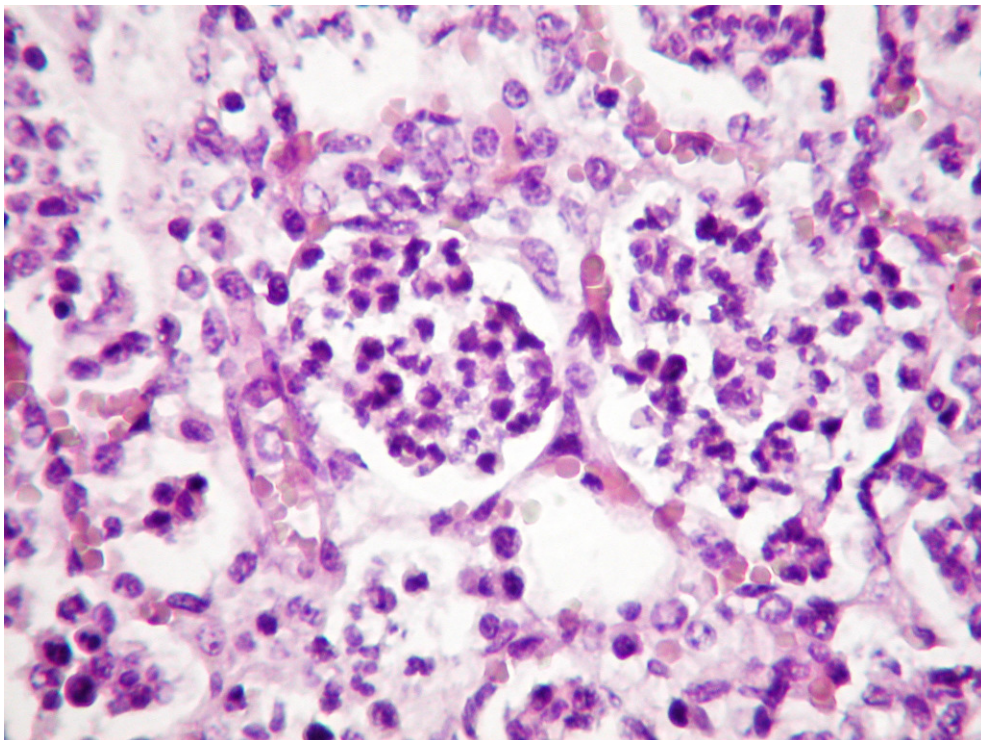
2.45. kép: *Chlamydia*val fertőzött allantochorion. Az antigén a villusokat borító chorion-epithelsejtek cytoplasmájában kissé eltérő méretű coccusok formájában látható. (IH, 400×)



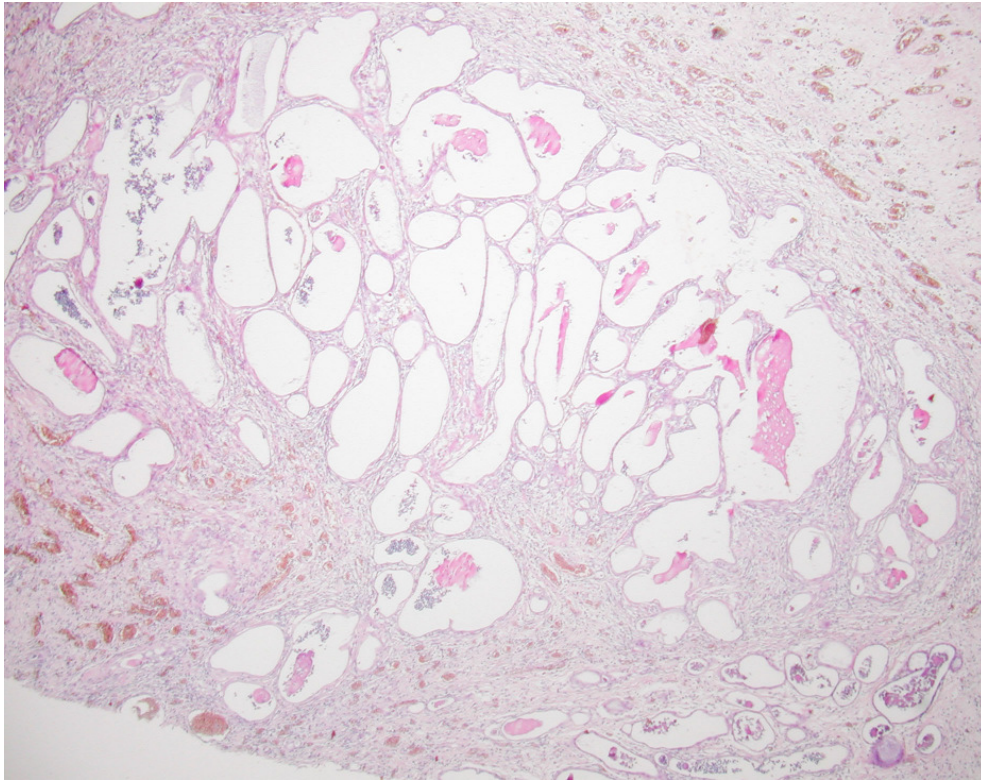
2.46. kép: *Chlamydia*val fertőzött allantochorion. Az antigén a villusokat borító chorion-epithelsejtek cytoplasmájában kissé eltérő méretű coccusok és zárvány-szerű képletek (nyíl) formájában látható. (IH, 400×)



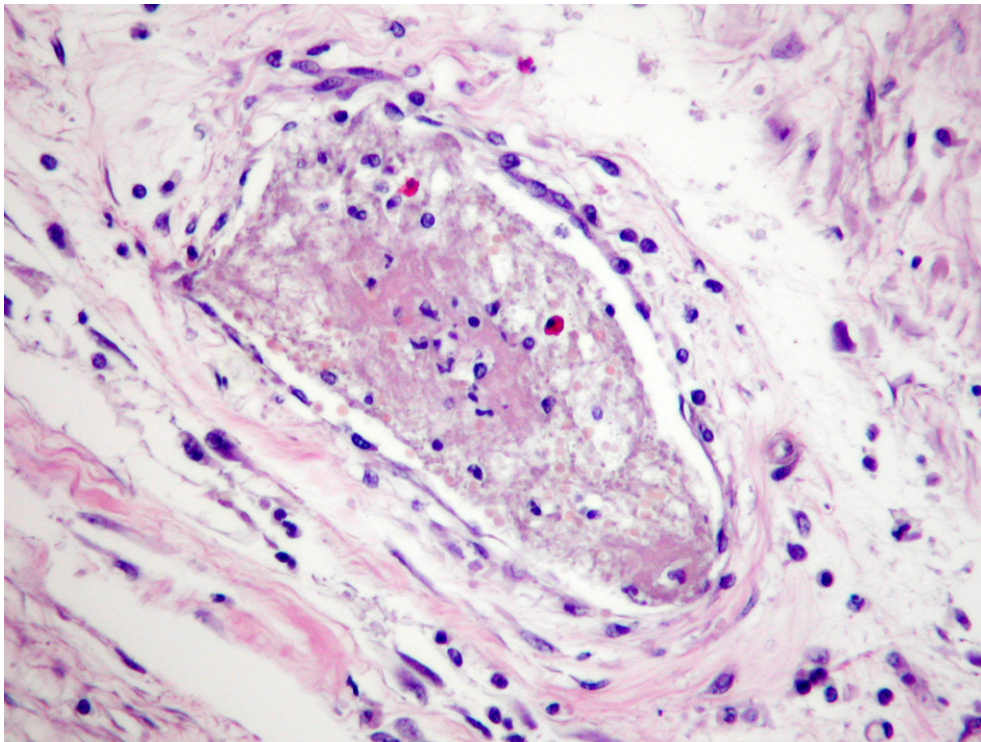
2.47. kép: *Str. equinus*-fertőzés nyomán elvetélt magzat tüdejének alveolusában helyet foglaló többmagú óriássejt. (HE, 1000×)



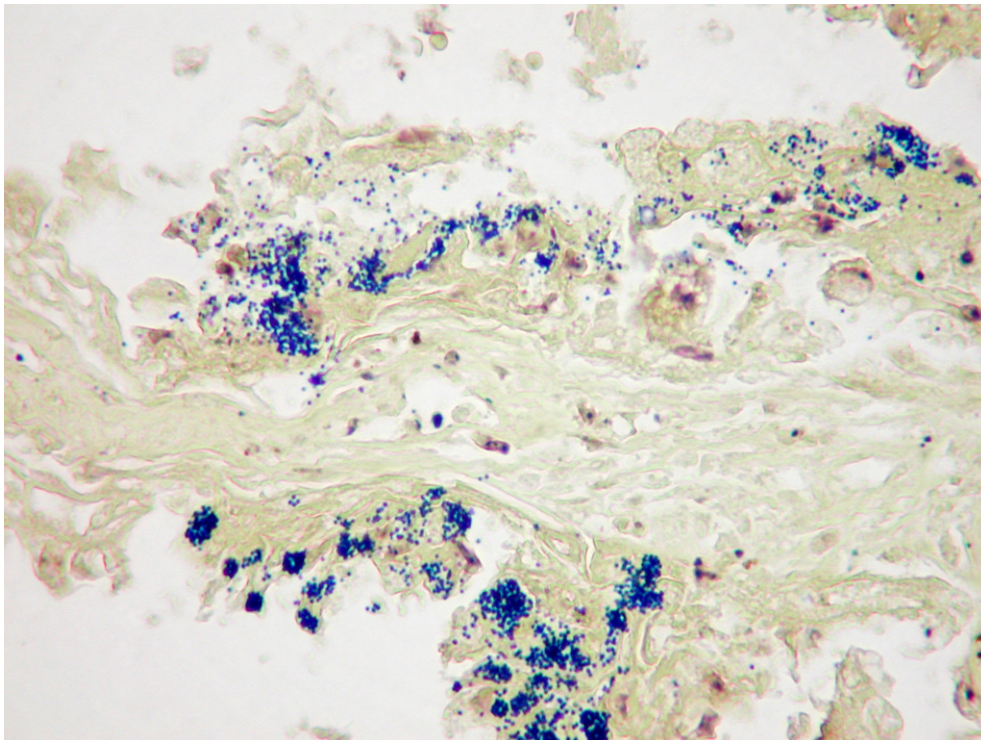
2.48. kép: *Str. equinus* -fertőzés nyomán elvetélt magzat tüdejében kialakult gennyes gyulladás. (HE, 400×)



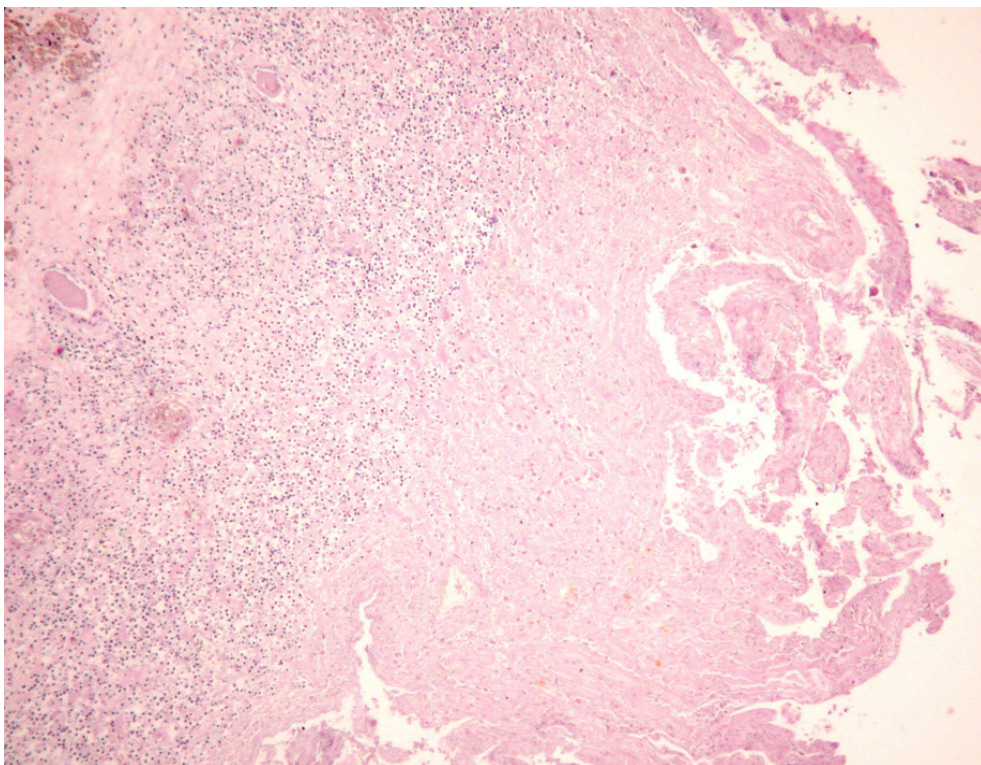
2.49. kép: *Str. equi* subsp. *zoepidemicus*-fertőzés következtében elvetélt magzat allantochorionja. Kifejezett adenomatous hyperplasia látható az allantoisban. (HE, 20×)



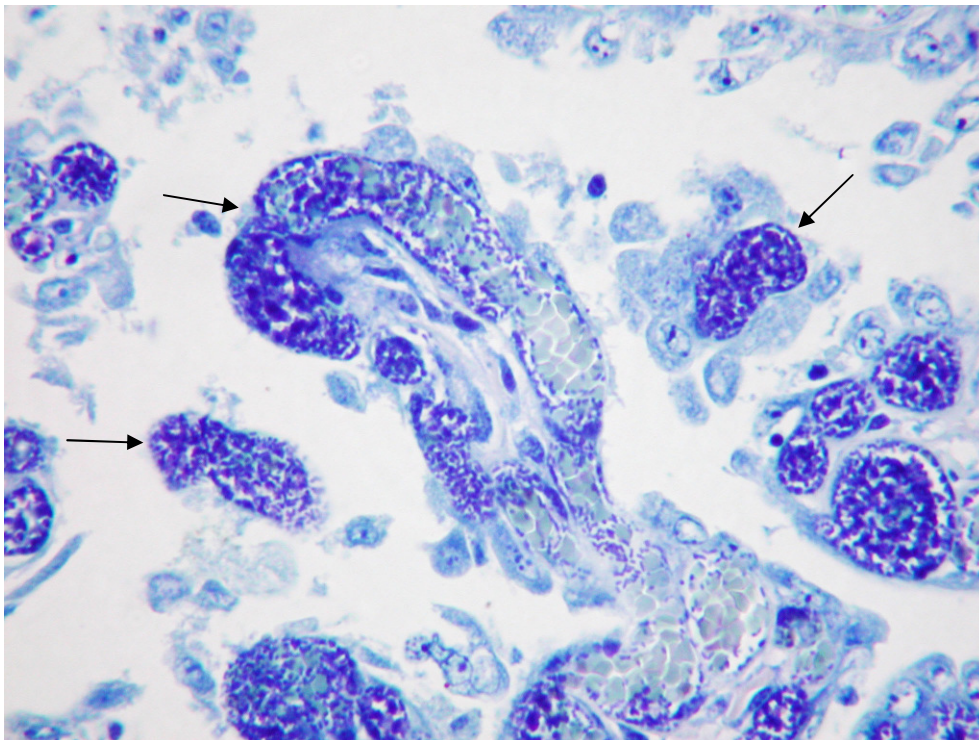
2.50. kép: *Str. equi* subsp. *zoepidemicus* fertőzés következtében elvetélt magzat allantochorionja. Friss thrombus egy az allantoisban helyet foglaló artériában. (HE, 400×)



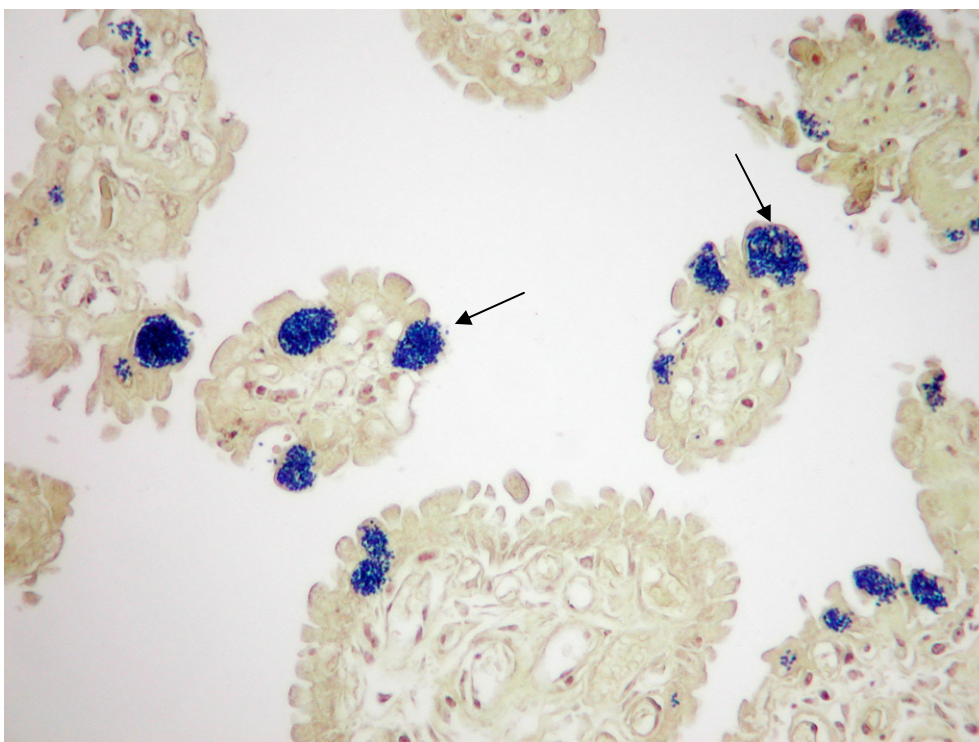
2.51. kép: *Staph. equorum*-fertőzés következtében elvetélt magzat allantochorionja. Nagy számú Gram-pozitív coccus látható a chorionhámsejtekben. (Brown-Bren, 400×)



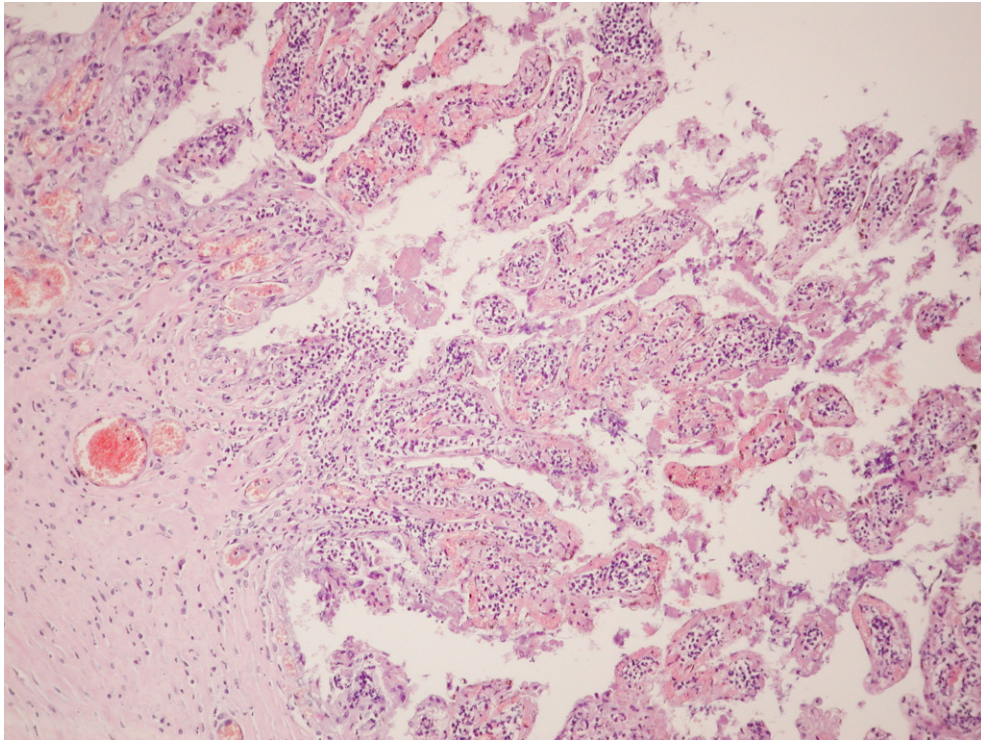
2.52. kép: *E. coli* fertőzés következtében kialakult heveny, elhalásos, gennyes placentalitis. (HE, 20×)



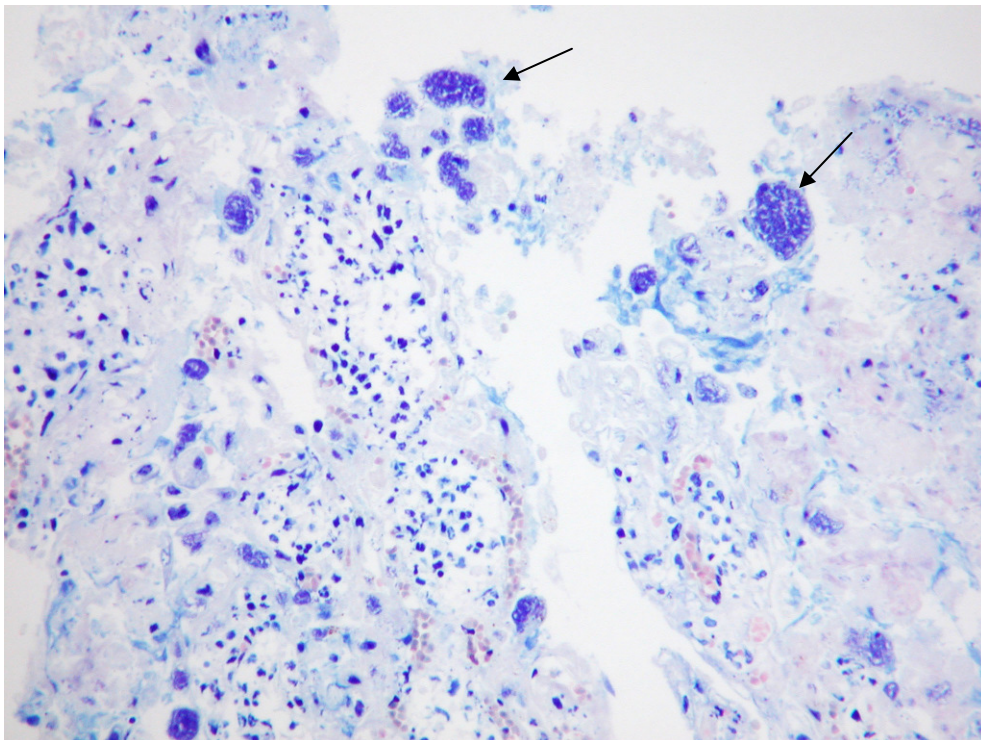
2.53. kép: *E. coli* fertőzés következtében elvetélt magzat allantochorionja. Nagy számú coliform baktérium a chorionhámsejtekben (nyilak). (Giemsa, 400×)



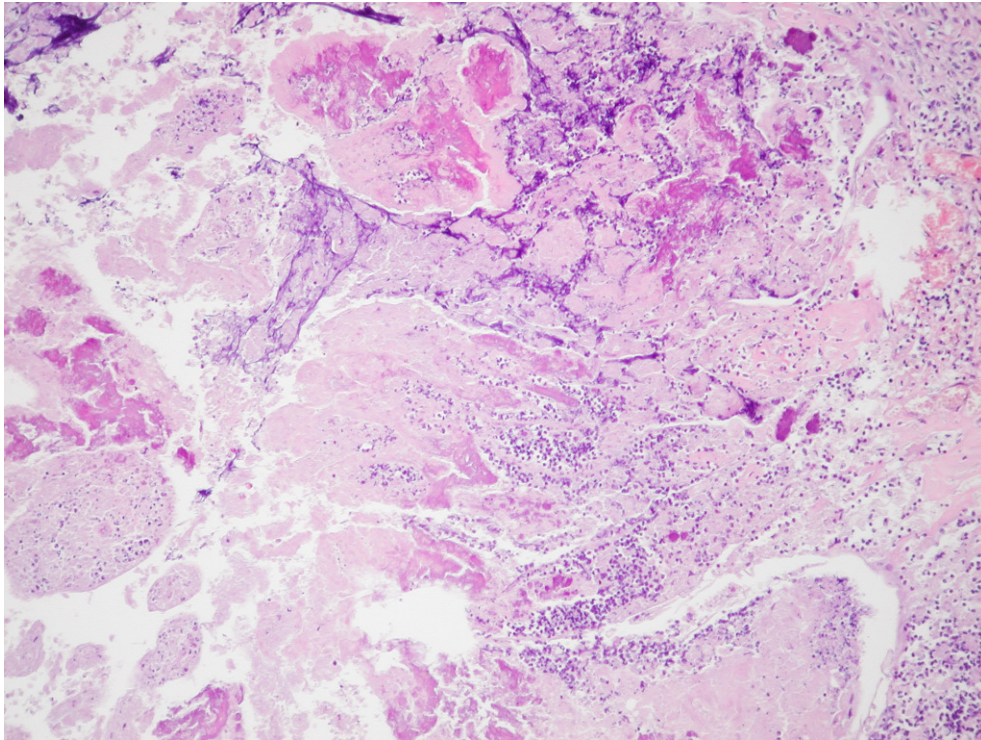
2.54. kép: Gram-pozitív cocci okozta vetélésből származó allantochorion. Nagy számú Gram-pozitív coccus látható a chorionhámsejtekben (nyilak). (Brown-Brenn, 400×)



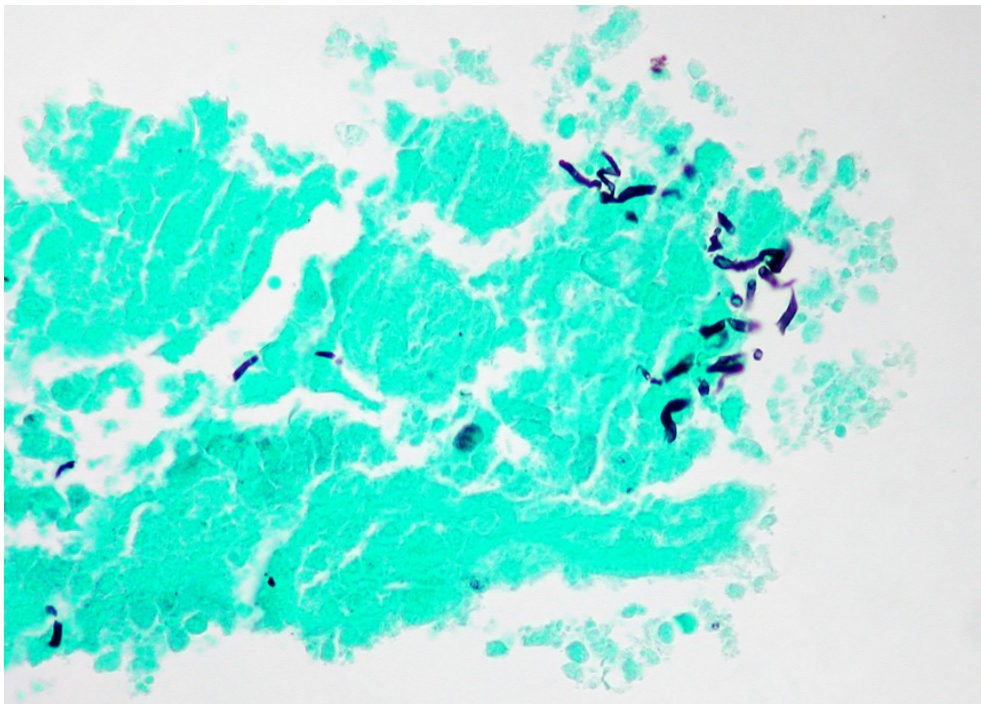
2.55. kép: Gram-negatív, coliform baktériumok okozta vetélésből származó allantochorion. Súlyos fokú, heveny, elhalásos, gennyes gyulladás. (HE, 200×)



2.56. kép: Coliform baktériumok láthatók nagy számban a chorionhámsejtekben (nyilak). (Giemsa, 200×)



2.57. kép: Az allantochorionban fonalas gomba okozta fertőzés következtében kialakult, a villusokban mézlerakódással és elhalással kísért, félheveny-idült, gennyes gyulladás látható. (HE, 100×)



2.58. kép: A villusok közötti törmelékes anyagban fonalas gombák láthatók. (krómsav-argyrophil-reakció, 400×)

VIII. KÖSZÖNETNYILVÁNÍTÁS

A vizsgálatok elvégzéséhez nyújtott segítségükért az alábbiaknak tartozom köszönettel:

Dr. Aupperle Heike	Lipcse
Dr. Bacsadi Árpád	Debrecen
Dr. Balogh Attila	Budapest
Dr. Bozsó Miklós	Budapest
Dr. Dénes Béla	Budapest
Dr. Hornyák Ákos	Budapest
Dr. Jánosi Szilárd	Budapest
Dr. Jármí Miklós	Budapest
Dr. Kútvölgyi Gabriella	Budapest
Dr. Molnár Tamás	Budapest
Dr. Nagy Péter	Oman
Dr. Pálfi Vilmos	Budapest
Dr. Pospischil Andreas	Zürich
Dr. Rátz Ferenc	Budapest
Dr. Révész Tamás	Budapest
Dr. Rusvai Miklós	Budapest
Dr. Schiller Irene	Zürich
Dr. Schoon Doris	Lipcse
Dr. Steiger Katja	Lipcse
Dr. Szollár István	Mezőhegyes
Dr. Tekes Lajos	Budapest
Dr. Tenk Miklós	Budapest

Az Országos Állat-egészségügyi Intézet Emlőskörbonctani, Kórszövettani, Szerológiai és Virologiai Osztályának dolgozói